



RESEARCH ARTICLE

10.22067/econg.2024.1107

OPEN ACCESS

Whole-rock geochemistry and crystal chemistry of apatite at intrusive suites of the Qeynarjeh-Angouran district (west of Zanjan): an approach to the identification of skarn-causative granitoids and magmatic-metallogenetic evolutions

Afsoon Dastour¹, Ebrahim Tale Fazel^{2*} , Ashraf Torkian³

¹ Ph.D. Student, Department of Geology, Faculty of Science, Bu-Ali Sina University, Hamadan, Iran

² Associate Professor, Department of Geology, Faculty of Science, Bu-Ali Sina University, Hamadan, Iran

³ Associate Professor, Department of Geology, Faculty of Science, Bu-Ali Sina University, Hamadan, Iran

ARTICLE INFO

Article History

Received: 29 March 2024
Revised: 22 August 2024
Accepted: 24 August 2024

Keywords

whole-rock geochemistry
apatite
Qeynarjeh-Angouran
west of Zanjan

*Corresponding author

Ebrahim Tale Fazel
 e.talefazel@basu.ac.ir

ABSTRACT

The Qeynarjeh-Angouran district is located at the intersection of the Urumieh-Dokhtar and the Sanandaj-Sirjan structural zones in NW Iran. In this area, intrusive suites of Middle Triassic-Upper Jurassic age are exposed, including the Gharavol-Khane quartz diorite, the Kuh-e Belghais granite porphyry, and the Qeynarjeh granodiorites. Whole-rock geochemical data and crystal chemistry of apatite were analyzed to obtain the geochemical-metallogenetic evolutions of magma and compare fertility using trace element interpolation. These intrusive suites with zircon saturation temperature (T_{Zr}) less than 900 °C and meta-aluminous to slightly peraluminous nature ($A/CNK = 0.5-1.2$) belong to the calc-alkaline series, which is evidence of I-type granitoids ($Na_2O/K_2O = 0.8-2.0$) in subduction zones (enrichment of LILE compared to HFSE along with P, Nb and Ti anomalies). ΣREE concentration, LREE/HREE ratio, and LILE content (including Rb, Ba, Th, U, K and Pb elements) in the Qeynarjeh granodiorites are determined to be twice as much as other intrusive suites, which are placed at a depth of 20 to 30 km of crust ($Sr/Y=10-20$), Rb/Sr ratio of whole-rock less than 0.4 and FeO content about 4 wt.% indicate characteristics of ore-bearing skarns. EPMA results show apatite crystals from Gharavol-Khane quartz diorite with high fluorine concentration ($F = 2.2-2.7$ wt.%) have been formed directly from the parent magma and Kuh-e Belghais granite porphyry apatites with high chlorine variation ($Cl = 0.52-0.65$ wt.%) is a result of large fluid-rock interactions between the granite porphyries and hydrothermal fluids. Overall, the Qeynarjeh granodiorites and the Gharavol-Khane quartz diorites show the most similarity with the petrogenesis-metallogenesis pattern of the iron skarn-causative intrusions.

How to cite this article

Dastour, A., Tale Fazel, E. and Torkian, A., 2024. Whole-rock geochemistry and crystal chemistry of apatite at intrusive suites of the Qeynarjeh-Angouran district (west of Zanjan): an approach to the identification of skarn-causative granitoids and magmatic-metallogenetic evolutions. Journal of Economic Geology, 16(3): 23–55. (in Persian with English abstract) <https://doi.org/10.22067/econg.2024.1107>



©2024 The author(s). This is an open access article distributed under the terms of the Creative Commons Attribution (CC BY 4.0), which permits unrestricted use, distribution, and reproduction in any medium, as long as the original authors and source are cited. No permission is required from the authors or the publishers.

EXTENDED ABSTRACT

Introduction and geological background

Chemical composition, origin, and magmatic–metallogenic evolution of intrusive suites with granitoid nature have a significant role in evaluating mineral potential and separating fertile and barren intrusive rocks in orogenic belts (Svetlitskaya and Nevolko, 2022). Determining the physicochemical characteristics of granitoids such as temperature, pressure, oxygen fugacity (\log/O_2), and volatile elements (e.g., water content, chlorine, and sulfur oxide) is necessary to investigate the relationship between the formation of intrusive suites and mineralization (Richards and Kerrich, 2007; Wang et al., 2014; Zhu et al., 2018; Zhang et al., 2022). Determination of these characteristics is important, especially for evaluating magmatic–hydrothermal systems and the skarn-causative granitoid deposits (e.g., porphyry and skarn deposits). The Takab-Angouran belt in the northwest of Iran hosts numerous mineral deposits from Neoproterozoic to Cenozoic, some world-class deposits (e.g., Angouran zinc and Zarshoran gold deposits) have been formed in this area. The enormous magmatic-hydrothermal-geothermal eruptions caused by the closing of the big Neotethys sea and the occurrence of the Zagros Mountain belt have led to the formation of a large volume of granitoid and volcanic intrusive suites with the age range of Triassic–Jurassic to Miocene in the Takab-Angouran. In this research, the whole-rock geochemical data and chemistry of apatite in Gharavol-Khane quartz diorite, Kuh-e Belghais granite porphyry, and Qeynarjeh granodiorite have been evaluated from the point of view of iron skarn potential. The purpose of this research is to achieve magmatic control factors and compare the fertility indicators of granitoids using the trace element ratio and geochemical diagrams in the intrusive suites. Also, petrography and apatite crystal chemistry have been used to obtain the petrogenesis-metallogenesis pattern of granitoids. This evidence could be helpful in advancing exploration programs and identifying encouraging mineral areas in the Qeynarjeh-Angouran area.

Material and methods

After studying geological maps and conducting detailed sampling, field works, and sampling of different rock units were conducted. Therefore, 80 rock samples were taken from various intrusive suites, and after petrographic studies, 20 fresh samples were selected.

Petrographic studies were carried out using a ZEISS reflected-transmitted polarizing microscope (Axioplan2 model). For chemical analysis, 10 samples of Gharavol-Khane quartz diorite, 5 samples of Kuh-e Belghais granite porphyry, and 5 samples of Qeynarjeh granodiorite were selected and grounded in agate pounder to 200 mesh size (about 75 micrometers). Whole-rock geochemical data has been carried out in the Geochemistry Laboratory of Istanbul University of Technology, by X-ray fluorescence (WDXRF) wavelength-based model S8 TIGER to detect the main oxide elements (in terms of wt.%) and inductively coupled plasma mass spectrometer (ICP-MS), ELAN DRC-e model for identification of minor and rare earth elements (in terms of ppm). Digestion of samples (approximately 50 mg) has been done in two steps: 1) by 6 ml of HCl acid (37% concentration), 2 ml of HNO_3 acid (65% concentration), and 1 ml of HF acid (concentration 38–40 percent), and 2) the destruction of the remaining refractor minerals by adding 6 ml of $\text{B}(\text{OH})_3$ acid (concentration 5%). Destruction of the samples was done in a Berghoff model microwave Teflon pot at a temperature of 135 °C. The analysis accuracy surpasses 2% for major elements and surpasses 5% for rare elements. To obtain the chemical composition of apatite types in the study intrusive suites, about 30 points were tested by electron microprobe analysis (EPMA) model JEOL JXA-8530F in the laboratory of the German Geosciences Research Center (GFZ). Spot analysis was performed with a 15kV voltage, an electron beam current of 5 nA, a beam diameter of 10 microns, and an irradiation time of 5 to 10 seconds. The X-ray geometry jump angle of the device is between 50 and 60 degrees, and the analysis error is less than 10 grams per ton.

Results and discussion

The intrusive suites of the studied area include the Gharavol-Khane quartz diorite intrusion with granular and porphyroidic textures, the Kuh-e Belghais granite porphyry with porphyry, granular and graphic textures, and the Qeynarjeh granodiorite, has microgranular, porphyroidic, and graphic textures. In terms of alumina saturation index (ASI), the study intrusive suites belong to the metaluminous to slightly peraluminous series and I-type granite and have calc-alkaline to shoshonitic affinity. An enrichment of LILE compared to HFSE was observed in the study area, and this enrichment occurred during melting due to the high ionic potential of LILE and the decrease in solubility of HFSE in aqueous fluids.

A negative anomaly in Eu and a positive anomaly in Ce were observed, which occurred due to low-oxygen fugacity and increased $\text{Eu}^{+2}/\text{Eu}^{+3}$ and $\text{Ce}^{+3}/\text{Ce}^{+4}$ ratios in the silicate melt. Three types of apatite: Ap1 (with elongate habit and homogeneous appearance in the Gharavol-Khane quartz diorite), Ap2 (subhedral to anhedral form in the Kuh-e Belghais granite porphyry), and Ap3 (anhedral to subhedral form in the Qeynarjeh granodiorite), were recognized in Qeynarjeh-Angouran district. All apatites belong to the hydroxy-fluorine apatite class and originated from magmatic origin. Ap1 crystals were formed directly from the parent magma but Ap2 and Ap3 crystals were formed during skarnization. The intrusive suites of the studied area, have the characteristic signatures of subduction zone magmas in

a volcanic arc setting. Qeynarjeh granodiorite is ore-bearing, Kuh-e Belghais granite porphyry is non-productive, and Gharavol-Khane quartz diorites are barren to ore-bearing nature and they are all in the range of mineralized differentiated intrusive in-depth. The Qeynarjeh granodiorite is an ore-bearing granite and shows evidence of a skarn-causative suite (non-porphry).

Acknowledgements

This research has been done with the support of the Bu-Ali Sina University. The authors are grateful for the useful comments of the reviewer of Economic Geology Journal.



OPEN ACCESS

DOI 10.22067/econg.2024.1107

مقاله پژوهشی

زمین‌شیمی سنگ کل و شیمی‌بلور آپاتیت در دنباله‌های نفوذی ناحیه قیزرجه- انگوران (غرب زنجان): رویکردی برای شناسایی گرانیتوئیدهای مولد اسکارن و تحولات ماگمایی- فلززایی

افسون دستور^۱، ابراهیم طالع فاضل^{۲*}، اشرف ترکیان^۳^۱ دانشجوی دکتری، گروه زمین‌شناسی، دانشکده علوم پایه، دانشگاه بوعالی سینا، همدان، ایران^۲ دانشیار، گروه زمین‌شناسی، دانشکده علوم پایه، دانشگاه بوعالی سینا، همدان، ایران^۳ دانشیار، گروه زمین‌شناسی، دانشکده علوم پایه، دانشگاه بوعالی سینا، همدان، ایران

چکیده

اطلاعات مقاله

ناحیه قیزرجه- انگوران در محل تلاقی پنهانه‌های ساختاری ارومیه- دختر و سنتاج- سیرجان، در شمال غرب ایران جای دارد. در این ناحیه دنباله‌های نفوذی با سن تریاس میانی- ژوراسیک بالایی شامل توده کوارتزدیوریت قراول خانه، واحد گرانیت پورفیری کوه بلقیس و توده گرانودیوریتی قیزرجه رخمنو دارند. این پژوهش به واکاوی داده‌های زمین‌شیمی سنگ کل و شیمی‌بلور آپاتیت در دنباله‌های نفوذی یادشده برای دستیابی به تحولات زمین‌شیمیابی- فلززایی ماگما و مقایسه شاخص‌های باروری توسط درون‌یابی عناصر کمیاب می‌پردازد. توده‌های مورد بررسی با دمای همگزی زیرکن (T_{Zr}) کمتر از ۹۰۰ درجه سانتی گراد و ماهیت متاآلومین تا کمی پرآلومین ($A/CNK = 0.5-1.2$) متعلق به سری کلک-آلکالن هستند که شواهد گرانیتوئیدهای نوع I ($Na_2O/K_2O = 0.8-2.0$) محیط‌های فرورانش (غذی شدگی LILE نسبت به HFSE همراه بی‌هنجری‌های P، Nb و Ti) را نشان می‌دهند. تمرکز ΣREE نسبت LREE/HREE و محتوای LILE شامل مجموع عناصر Rb، Ba، K، U، Th و Pb در گرانودیوریت‌های قیزرجه به طور متوسط دو برابر توده‌های دیگر تعیین شده است که جای‌گیری در عمق ۲۰ تا ۳۰ کیلومتری پوسته ($Sr/Y = 10-20$) نسبت Rb/Sr سنگ کل کمتر از ۰/۴ و محتوای FeO حدود ۴ wt.%، ویژگی اسکارن‌های آهن‌دار را نشان می‌دهد. طبق شواهد ریزکاوالکترونی، آپاتیت‌های کوارتزدیوریت قراول خانه با تمرکز بالای فلورور ($F = 2.2-2.7$ wt.%) به طور مستقیم از ماگمای نخستین و آپاتیت‌های گرانیت پورفیری کوه بلقیس با تغییرات بالای کلر ($Cl = 0.52-0.65$ wt.%) در نتیجه تبادلات وسیع سیال- سنگ میان توده گرانیت پورفیری و سیال گرمایی شکل گرفته‌اند. در مجموع، توده گرانودیوریتی قیزرجه و پس از آن کوارتزدیوریت قراول خانه بیشترین شباهت را با الگوی پتروژنز- فلززایی توده‌های مولد ذخایر اسکارن آهن نشان می‌دهند.

واژه‌های کلیدی

زمین‌شیمی سنگ کل

آپاتیت

قیزرجه- انگوران

غرب زنجان

تاریخ دریافت: ۱۴۰۳/۰۱/۱۰

تاریخ بازنگری: ۱۴۰۳/۰۶/۰۱

تاریخ پذیرش: ۱۴۰۳/۰۶/۰۳

نویسنده مسئول

ابراهیم طالع فاضل

e.talefazel@basu.ac.ir

استناد به این مقاله

دستور، افسون؛ طالع فاضل، ابراهیم و ترکیان، اشرف، ۱۴۰۳. زمین‌شیمی سنگ کل و شیمی‌بلور آپاتیت در دنباله‌های نفوذی ناحیه قیزرجه- انگوران (غرب زنجان): رویکردی برای شناسایی گرانیتوئیدهای مولد اسکارن و تحولات ماگمایی- فلززایی. زمین‌شناسی اقتصادی، ۱۶(۳): ۵۵-۲۳.

<https://doi.org/10.22067/econg.2024.1107>

مقدمه

کانسارهای شهرک (Maamijou and Salemi, 2013; Sepahi et al., 2020 2020)، علم کندی (Nouri et al., 2021)، گویجه قلعه (Hafez et al., 2019)، کوه بلبا (Aliyari et al., 2020) و قینزجه (Fallah Karimi, 2013) تخمین زده می شود. در این پژوهش، داده های زمین شیمی سنگ کل و شیمی آپاتیت در دنباله های نفوذی کوارتز دیبوریت قراول خانه، گرانیت پورفیری کوه بلقیس و گرانودیبوریت قینزجه، از دیدگاه پتانسیل اسکارن زایی آهن مورد ارزیابی قرار گرفته است. هدف این پژوهش، دستیابی به کنترل کننده های ماگمایی و مقایسه شاخص های باروری گرانیتوئیدها با استفاده از درونیابی عناصر کمیاب و نمودارهای زمین شیمیابی در دنباله های نفوذی مورد بررسی است. همچنین، از سنگ نگاری و شیمی بلور آپاتیت، برای دستیابی به الگوی پتروژنز- فلز زایی گرانیتوئیدها استفاده شده است. نتایج به دست آمده از این پژوهش احتمالاً می تواند در پیشبرد اهداف اکتشافی و شناسایی مناطق امیدبخش معدنی در ناحیه قینزجه- انگوران مؤثر باشد.

زمین شناسی ناحیه قینزجه- انگوران

ناحیه قینزجه- انگوران از دیدگاه تقسیمات چینه شناسی- ساختاری ایران (Aghanabati, 2004)، در محل تلاقی پهنه های ساختاری ارومیه- دختر و سنترج- سیرجان واقع شده است (شکل ۱-A). واحد های سنگی منطقه بر اساس نقشه ۱:۱۰۰۰۰۰ تحت سلیمان (Babakhani and Richards and Kerrich, 2007; Wang et al., 2014; Zhu et al., 2018; Zhang et al., 2022) از قدیم به جدید شامل واحد کوارتز مسکویت شیست (PC^{sh}_k) متشکل از میکاشیست و کوارتزیت است که پس از آن به صورت نایپوسته واحد سرپاتین شیست (Sr) شامل مجموعه ای از سرپاتینیت و سرپاتین شیست، متاگابرو و متابازالت شکل گرفته است. واحد ضخیم لایه (ضخامت ۵۰ تا ۱۰۰ متر) مرمر جانگوتاران (P^{sh}) با میان لایه دولومیت خاکستری روش تا تیره به طور نایپوسته بر روی واحد گیس، مرمر و آمفیولیت (Mtgn) قرار گرفته است. واحد Mtgn از سنگ های دگر گونی بیوتیت- فلدسپار گیس (با ساخت میگماتیتی) و میان لایه های دولومیت مرمری سفید (واحد mb) تشکیل شده است که با شیب ۵۰-۶۰N زیر افق مرمر جانگوتاران

بررسی ترکیب شیمیابی، خاستگاه و تکامل ماگمایی- فلز زایی دنباله های نفوذی ماهیت گرانیتوئیدی که دارای ارتباط فضایی- زمانی با هم هستند، نقش به سزایی در ارزیابی توان معدنی و تفکیک توده های بارور و عقیم در کمریندهای کوه زایی دارد (Svetlitskaya and Nevolko, 2022). شکل گیری ذخایر اسکارن مرتبط با گرانیتوئیدها مستلزم آزادسازی فلز از ساختمان توده نفوذی و مهاجرت آن توسط سامانه گرمایی بوده که این فرایند توسط تغییرات زمین شیمیابی سنگ منشاء قابل رديابي است. از دهه ۱۹۹۰ ميلادي، معيارهای مختلفی برای ارزیابي پتانسیل فلز زایی گرانیتوئیدها بر اساس زمین شیمیابی سنگ کل (نظير نسبت های Sr/Y , La/Yb , V/Sc , Eu/Eu^*) و شیمی کانی های کمیاب (نظير آپاتیت، روبل و زیر کن)، پیشنهاد شده است (Cline and Bodnar, 1991; Mao et al., 2016; Soloviev, 2014; Groves et al., 2022). تعیین ویژگی های فیزیکوشیمیابی گرانیتوئیدها نظیر مؤلفه های دما، فشار، فوگاسیته اکسیژن ($\log(\text{O}_2/\text{O}_2)$) و مواد فرار (محتوی آب، کلر و گوگرد اکسیدان) برای درک ارتباط تکوین توده های نفوذی و کانی سازی ضروری است (Richards and Kerrich, 2007; Wang et al., 2014; Zhu et al., 2018; Zhang et al., 2022).

تعیین اين ویژگی ها به ویژه برای ارزیابی سامانه های ماگمایی- گرمایی و احتمال شکل گیری گرانیتوئیدهای مولد ذخایر اسکارن از اهمیت بالایی برخوردار است. کمریند تکاب- انگوران در شمال غرب ایران، میزبان ذخایر معدنی متعددی از نئوپروتروزوئیک تا سنوزوئیک است که برخی ذخایر بارده جهانی (نظير کانسارهای روی- سرب انگوران و طلاز زرشوران) در این ناحیه شکل گرفته اند. تکاپوهای عظیم ماگمایی- گرمایی- زمین گرمایی ناشی از بسته شدن دریای عظیم نووتیس و رخداد کمریند کوهزاد زاگرس به شکل گیری حجم وسیعی از توده های گرانیتوئیدی و آتش فشانی با محدوده سنی تریايس- ژوراسیک تا میوسن در ناحیه تکاب- انگوران منجر شده است. جای گیری توده های گرانیتوئیدی موجب فعال شدن سامانه گرمایی و مهاجرت حجم عظیمی از فلزها در این ناحیه شده است که طی آن بیش از ۲ میلیون تن ذخیره آهن در

است. همچنین، گسل زندان سلیمان و گسل راندگی لعل کان در جنوب شرقی ناحیه مورد بررسی واقع شده‌اند.

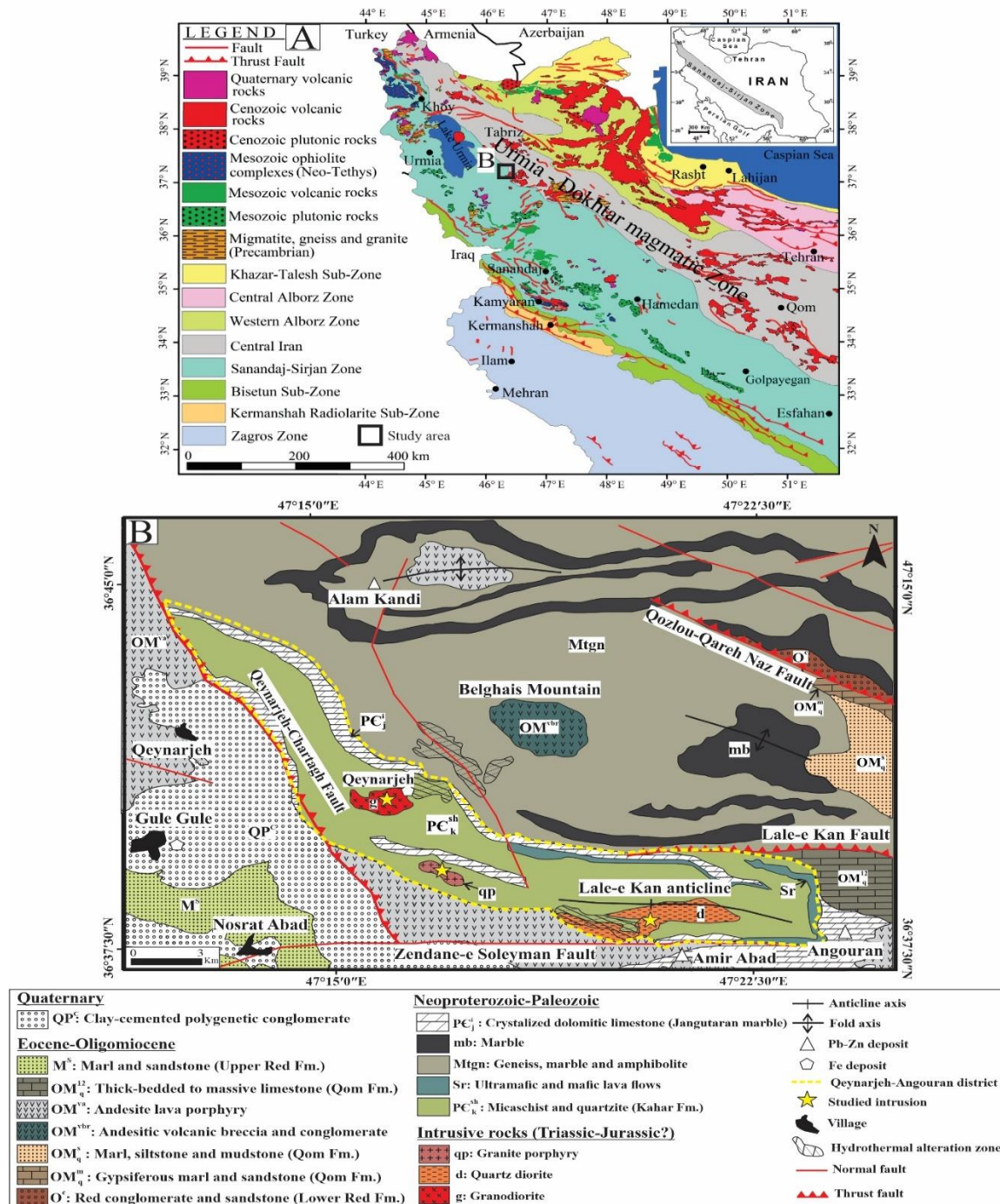
روش پژوهش

پس از بررسی نقشه‌های زمین‌شناسی و جانمایی دقیق واحدهای سنگی، بررسی‌های صحرایی و نمونه‌برداری از دنباله‌های نفوذی انجام شد (شکل ۲). بر این اساس، تعداد ۸۰ نمونه سنگی برداشت شده که پس از بررسی‌های سنگ‌نگاری توسط میکروسکوپ پلاریزان بازتابی-عبوری زایس (مدل Axioplan 2)، تعداد ۲۰ نمونه غیرهوازده از میان آنها انتخاب شد. برای انجام تعزیه شیمیایی، تعداد ۱۰ نمونه از کوارتزدیوریت قراول خلنگ، ۵ نمونه از گرانیت پورفیری کوه بلقیس و ۵ نمونه از گرانودیوریت قیرچه، انتخاب شده و نمونه‌ها تا ابعاد ۲۰۰ مش (حدود ۷۵ میکرون) آسیاب شدند.

داده‌های زمین‌شناسی سنگ کل در دنباله‌های نفوذی مورد بررسی، توسط فلورسانس پرتو ایکس مبتنی بر طول موج (WDXRF) مدل S8 TIGER برای آشکارسازی عناصر اکسیدی اصلی (بر حسب ICP-MS (wt.%) و طیف‌سنج جرمی پلاسمای جفت‌شده القایی (ELAN DRC-e) برای شناسایی عناصر کمیاب و کمیاب خاکی (بر حسب ppm)، در آزمایشگاه زمین‌شناسی دانشگاه صنعتی استانبول، انجام شده است. هضم نمونه‌ها (قریباً ۵۰ میلی گرم) در دو مرحله: ۱- توسط ۶ میلی لیتر اسید HCl (غلظت ۳۷ درصد)، ۲ میلی لیتر اسید HNO₃ (غلظت ۶۵ درصد) و ۱ میلی لیتر اسید HF (غلظت ۳۸ تا ۴۰ درصد) و ۲- تخریب کانی‌های مقاوم باقی‌مانده با افزودن ۶ میلی لیتر اسید B(OH)₃ (غلظت ۵ درصد)، انجام شده است. تخریب نمونه‌ها در یک بوته تفلونی با استفاده از مایکروویو مدل Berghoff و دمای ۱۳۵ درجه سانتی گراد انجام شد. دقت آنالیز برای عناصر اصلی بهتر از ۲ درصد و برای عناصر کمیاب بهتر از ۵ درصد است. محتوای مواد فرار (LOI) به عنوان کاهش وزن نمونه‌ها پس از ۹۰ دقیقه حرارت دهی یک گرم نمونه در کوره با دمای ثابت ۱۳۰۰ درجه سانتی گراد، اندازه‌گیری شد.

مشاهده می‌شود (شکل ۱-B). واحد آتشفشاری-رسوبی سازند قرمز زیرین (OM^C) شامل تناوبی از کنگلومرای قرمز و ماسه‌سنگ (با قطعه‌های سنگ دگرگونی) به صورت همساز در زیر واحد آهک ضخیم لایه سازند قم (OM¹²)؛ و این واحد به طور ناهمساز زیر تناوبی از ماسه‌سنگ‌های قرمز سازند قمز بالایی (M^S) با سن الیگوسن-میوسن قرار گرفته است. بر این اساس، واحدهای سنگی منطقه شامل سنگ بستر دگرگونی نوپر و تروزوئیک-پالوزوئیک (سازندهای کهر و جانگوتاران) توسط دنباله‌های گرانیتوئیدی تربیاس-ژوراسیک (جنس‌های گرانیت، گرانیت پورفیری، گرانودیوریت و مونزودیوریت) قطع شده و پس از آن واحدهای سنگی آذرآواری-رسوبی الیگومیوسن (سازندهای قمز زیرین، قم و قرمز بالایی) با ناپیوستگی بر روی واحدهای پیشین نهشته شده است (شکل ۱-B).

طبق پژوهش کریم‌پور و همکاران (Karimpour et al., 2021)، در پهنه سنتدج-سیرجان زنجیره‌ای از توده‌های نفوذی مرکب و چندفازی به سن ژوراسیک (۱۶۰ تا ۱۷۸ میلیون سال)، ماهیت ایلمینیتی (گرانیت ناشی از ذوب‌بخشی پوسته قاره‌ای رخمنون دارند. توده‌های گرانیتوئیدی منطقه ماهنشان (به عنوان نزدیک‌ترین واحدهای نفوذی به ناحیه قیرچه-لنگوران) دارای طیف ترکیبی از بیوکیت گرلینیت، گرانودیوریت گیسی، لوکوگرانیت و کوارتمونزونیت هستند (Honarmand et al., 2018). طبق سن سنجی‌های U-Pb زیرکن توسط هنرمند و همکاران (Honarmand et al., 2018)، این گرانیتوئیدها در دو بازه سنی ادیاکاران-کامبرین (۵۳۱-۵۷۶ میلیون سال) و الیگوسن بالایی (۴۱/۲۵ میلیون سال) شکل گرفته‌اند. طبق این پژوهش‌ها، گرانیتوئیدهای ماهنشان با ماهیت کالک‌آلکالن و متا‌آلومینوس از ذوب‌بخشی پوسته قاره‌ای و آناتکسی سنگ‌های آذرین نوپر و تروزوئیک در یک محیط کمان آتشفشاری تشکیل شده‌اند. مهم‌ترین گسل موجود در منطقه، گسل راستالغز قیرچه-چارتاق (موسوم به گسل تکاب) با راستای NNW و درازای ۸۰ کیلومتر است که بخش عمده‌ای از تحولات ساختاری ناحیه تکاب-انگوران تحت تأثیر حرکت‌های این گسل شکل گرفته است. این گسل به طور عمده توسط نهشته‌های تراورتن و کنگلومرای عهد حاضر پوشیده شده

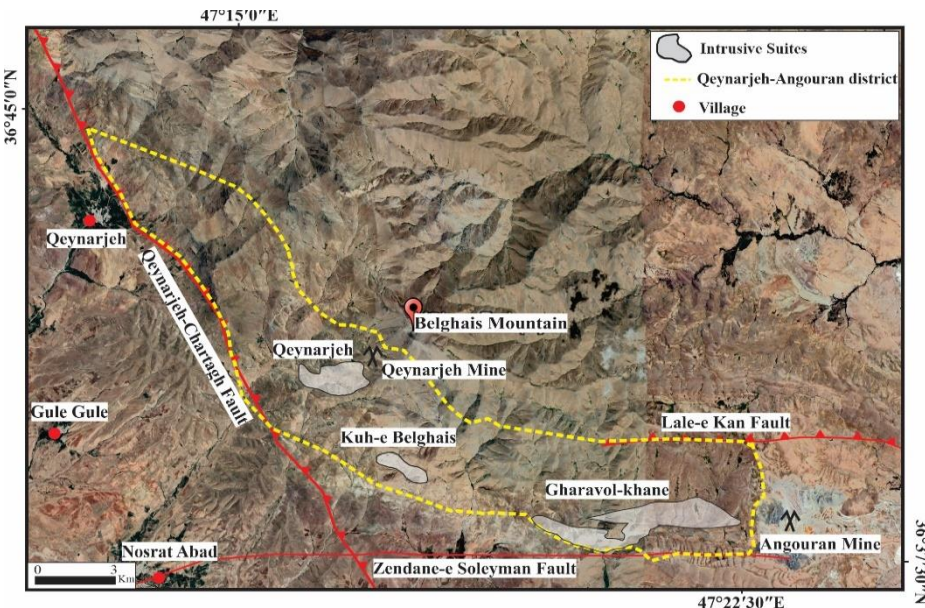


شکل ۱.A: نقشه ساده شده پهنه‌های ساختاری-زمین‌شناسی شمال غرب ایران، نقشه پایه از سهندی و سهیلی (Sahandi and Soheili, 2014) و موقعیت ناحیه قیرچه-انگوران و B: نقشه زمین‌شناسی ناحیه قیرچه-انگوران، نقشه پایه از باباخانی و قلمقاش (Babakhani and Ghalamghash, 2001) و موقعیت دنباله‌های نفوذی مورد بررسی

Fig. 1. A: Simplified structural-geologic map of NW Iran, modified after Sahandi and Soheili (Sahandi and Soheili, 2014) and location of the Qeinjarjeh-Angouran district, and B: Geological map of the Qeinjarjeh-Angouran district modified after Babakhani and Ghalamghash (Babakhani and Ghalamghash, 2001) and location of studied intrusive suites

الکترونی ۵ نانوآمپر، قطر پرتو ۱۰ میکرون و زمان تابش ۵ تا ۱۰ ثانیه انجام شده است. زاویه جهش ژئومتری پرتو ایکس دستگاه بین ۵۰ تا ۶۰ درجه و خطای تجزیه کمتر از ۱۰ گرم در تن گزارش شده است.

برای دستیابی به ترکیب شیمیابی آپاتیت‌ها در دنباله‌های نفوذی مورد بررسی، حدود ۳۰ نقطه توسط تجزیه ریز کاوالکترونی مدل JEOL JXA-8530F در آزمایشگاه مرکز تحقیقات علوم زمین آلمان، مورد آزمایش قرار گرفت. تجزیه نقطه‌ای با ولتاژ ۱۵ کیلوولت، جریان پرتو



شکل ۲. موقعیت دنباله‌های نفوذی مورد بررسی در ناحیه قیزجه-انگوران بر روی تصویر ماهواره‌ای

Fig. 2. Location of the intrusive suites at Qeynarjeh-Angouran district on the satellite image

(مجموع فراوانی ۳۰ درصد حجمی) و کانی‌های فرعی پیروکسن، ارتوکلاز، کوارتز و کلریت (مجموع فراوانی ۱۵ تا ۲۰ درصد حجمی) هستند. کانی‌های کمیاب (فراوانی کمتر از ۲ درصد حجمی) اغلب شامل زیرکن، آپاتیت، ایلمنیت و مگنتیت است (شکل ۳-C).

دگرسانی‌های سریسيتی و کلریتی به ترتیب در بلورهای پلاژیوکلاز و بیوتیت این واحد سنگی مشاهده شده است.

کوه بلقیس: واحد گرانیت پورفیری کوه بلقیس با وسعت تقریبی ۲ کیلومترمربع دارای ترکیب گرانیتی و دارای ضریب رنگی لوکوکراتیک (شکل ۳-D) بوده که در نتیجه نفوذ آن درون واحد میکاشیست سازند که ریک هاله اسکارنی غنی از گارنت گوهری سبز (موسوم به دماتوئید تکاب) ایجاد شده است. سن این واحد سنگی بر اساس بررسی‌های

سنگ‌نگاری دنباله‌های نفوذی

قرابول خلن: توده نفوذی قرابول خلن با وسعت تقریبی ۸ کیلومترمربع، سنگ بستر میکاشیست و کوارتزیت پر کامبرین را قطع کرده و در رخمنون‌های صحرایی با ظاهر سبز تیره تا خاکستری روشن و دارای یک هاله اسکارنی مگنتیت‌دار قابل مشاهده است (شکل ۳-A and B).

شکل گیری این توده همزمان با فاز کوهزادی سیمیرین پیشین و معادل تریاس میانی-بالایی گزارش شده است (Babakhani and Babakhani and, 2001). طبق شواهد سنگ‌نگاری، این واحد دارای جنس کوارتزدیوریت و مونزودیوریت با بافت‌های گرانولار، پوئی کیلیتیک و پورفیروئیدی است. کانی‌های اصلی این واحد شامل پلاژیوکلاز و هورنبلند (مجموع فراوانی ۵۰ درصد حجمی)، بیوتیت

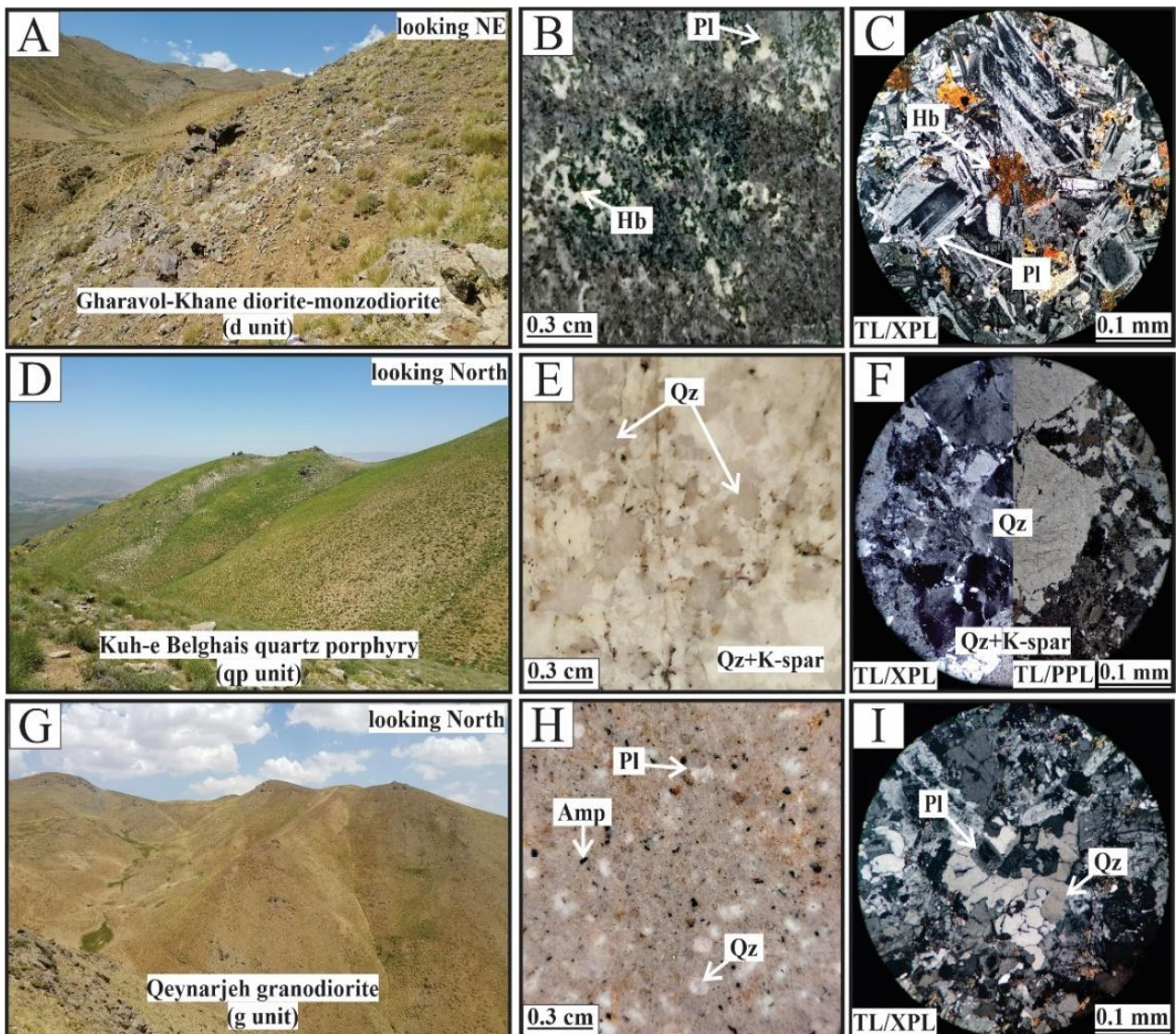
قرابول خانه، کوه بلقیس و قینزجه، در [جدول ۱](#) ارائه شده است. محتوای SiO_2 در کوارتزدیوریت قرابول خانه بین ۵۲/۲۱ تا ۵۷/۷۲ wt.% (متوسط ۵۴/۳۰ wt.%)، در واحد گرانیت پورفیری کوه بلقیس بین ۷۰/۱۲ تا ۷۵/۶۵ wt.% (متوسط ۷۳/۷۷ wt.%) و گرانودیوریت قینزجه بین ۶۴/۱۸ تا ۶۸/۲۸ wt.% (متوسط ۶۸/۴۹ wt.%) به دست آمد. بیشترین محتوای K_2O متعلق به گرانودیوریت قینزجه (متوسط ۲/۵۷ wt.%) و کمترین آن متعلق به گرانیت پورفیری کوه بلقیس (متوسط ۳/۰۸) است. با این وجود، بیشترین محتوای عنصر قلایی ($\text{Na}_2\text{O} + \text{K}_2\text{O}$) در توده نفوذی قینزجه (متوسط ۶/۷۰ wt.%) و کمترین آن در منطقه قرابول خانه (متوسط ۵/۷۳ wt.%) به دست آمد (جدول ۱). بیشترین محتوای LOI در توده گرانیت پورفیری کوه بلقیس (متوسط ۱/۷۲ wt.%) و کمترین آن در گرانودیوریت قینزجه (متوسط ۰/۸۳ wt.%) ثبت شده است. مقادیر $\# \text{Mg}$ { را رابطه $100^* \text{molar Mg}/(\text{Mg}+\text{Fe})$ در کوارتزدیوریت قرابول خانه بین ۱۹/۲۸ تا ۲۸/۷۴ mol% (متوسط ۳۶/۲۶ mol%)، گرانیت پورفیری کوه بلقیس بین ۹/۹۵ تا ۳۵/۲۶ mol% (متوسط ۲۰/۳۲ mol%) و گرانودیوریت قینزجه بین ۳/۶۲ تا ۲۳/۰۹ mol% (متوسط ۱۲/۴۹) به دست آمد. دمای همگنی زیرکن (T_{Zr}) بر حسب درجه سانتی گراد طبق معادله $T_{\text{Zr}} = 12,900 / [2.95 + 0.85M + \ln(496,000 / \text{Zr}_{\text{melt}})]$ (Miller and Wooden, 2004) به دست آمد که در آن $D^{\text{Zr, Zircon/melt}}$ نسبت غلظت Zr به دمای Zr در مذاب اشباع و M یک عامل ترکیبی است که به میزان حلایت زیرکن به SiO_2 و پرآلومینوس مذاب [$(\text{Al} \cdot \text{Si}) / (\text{Al} \cdot \text{Si} + \text{Na} + \text{K} + 2 \cdot \text{Ca})$] بستگی دارد. همچنین، T عامل دما بر حسب کلوین است. بر این اساس، در کوارتزدیوریت قرابول خانه بین ۵۶۱ تا ۷۳۳ درجه سانتی گراد (متوسط ۶۵۶ درجه سانتی گراد)، گرانیت پورفیری کوه بلقیس بین ۷۱۹ تا ۷۳۳ درجه سانتی گراد (متوسط ۷۴۷ درجه سانتی گراد) و گرانودیوریت قینزجه بین ۷۵۱ تا ۸۱۳ درجه سانتی گراد (متوسط ۷۸۱ درجه سانتی گراد) به دست آمد (جدول ۱).

[Babakhani and Ghalamghash \(2001\)](#)، ژوراسیک میانی-بالابی گزارش شده است. در نمونه دستی دارای درشت بلورهای کوارتز (ابعاد ۲/۵ تا ۵/۵ میلی متر) در خمیره ریزبلور، کوارتز و فلدسپارپتاسیم است (شکل E-۳). طبق شواهد سنگنگاری، این واحد سنگی با بافت پورفیری از کانی‌های اصلی کوارتز و فلدسپارپتاسیم (مجموع فراوانی ۸۰ درصد حجمی)، کانی‌های فرعی کلریت، هورنبلند، سریسیت و کلسیت (مجموع فراوانی ۱۵ تا ۲۰ درصد حجمی) و کانی‌های کمیاب اسفن، زیرکن، آپاتیت و پیریت (مجموع فراوانی کمتر از ۲ درصد حجمی)، تشکیل شده است (شکل F-۳). در این توده، دگرسانی‌های سریسیتی و کاتولینیتی (در بلورهای فلدسپارپتاسیم) و دگرسانی کربناتی (در زمینه سنگ) مشاهده شد.

قینزجه: توده نفوذی قینزجه با وسعت تقریبی ۳ کیلومترمربع، در رخمنون‌های صحرایی بارنگ سبز تا خاکستری روشن قابل مشاهده است (شکل G-۳). این واحد سنگی در مجاورت کانسار آهن اسکارنی قینزجه رخمنون دارد (شکل‌های ۱ و ۲) که واحدهای پالتوزوئیک (نظیر ماسه‌سنگ سازند لالون) را قطع کرده و توسط توالی کربناتی سازند قم با سن الیگوسن-میوسن به طور ناهمسان پوشیده شده است. بر این مبنای زمان نسبی توده نفوذی منطقه قینزجه احتمالاً پس از کامبرین و پیش از الیگوسن است که با توده‌های نفوذی همزمان با فاز کوه‌زایی سیمیرین پسین (ژوراسیک بالابی) ناحیه تکاب-انگوران تطبیق دارد ([Babakhani and Ghalamghash, 2001](#)). طبق شواهد سنگنگاری، این واحد دارای جنس گرانودیوریت با بافت‌های میکرو گرانولار و پورفیروئیدی است (شکل H-۳). کانی‌های اصلی آن شامل پلازیوکلاز، ارتوکلاز و کوارتز (مجموع فراوانی ۶۰ درصد حجمی)، کانی‌های فرعی هورنبلند و بیوتیت (فراوانی ۱۰ درصد حجمی) و کانی کمیاب آپاتیت، زیرکن، اپیدوت و پیریت (فراوانی کمتر از ۲ درصد حجمی) است (شکل I-۳).

زمین شیمی سنگ کل عناصر اصلی

داده‌های زمین شیمی سنگ کل برای تعداد ۲۰ نمونه از دنباله‌های نفوذی



شکل ۳. تصویرهای صحرابی و سنگ‌نگاری از دنباله‌های نفوذی در ناحیه قیزجه-انگوران. منطقه قراول خانه شامل A: رخمنون واحد نفوذی کوارتزدیوریت، B: بلورهای پلازیوکلاز و هورنبلند در نمونه دستی، C: بافت گرانولار از تجمع کانی‌های پلازیوکلاز و هورنبلند. منطقه کوه بلقیس شامل D: رخمنون واحد نفوذی، E: بلورهای کوارتز و فلدسپار پاتاسیم در نمونه دستی، F: بافت پورفیری با حضور درشت بلور کوارتز. منطقه قیزجه شامل G: رخمنون توده گرانودیوریتی، H: بلورهای پلازیوکلاز، هورنبلند و کوارتز در نمونه دستی و I: بافت میکروگرانولار از تجمع کانی‌های پلازیوکلاز و کوارتز. علامت اختصاری کانی‌ها از وار (Warr, 1994) اقتباس شده است (Qz: کوارتز، Pl: پلازیوکلاز، Px: پیروکسن، Hb: هورنبلند، K-spar: فلدسپار پاتاسیم، Amp: آمفیبول). علامت اختصاری میکروسکوپی شامل TL: نور عبوری، XPL: نور متعاقط پلاریزه است.

Fig. 3. Field and petrographic images of the intrusive suites at Qeynarjeh-Angouran district. The Gharavol-Khane area includes A: quartz diorite intrusive rock, B: hand specimen of plagioclase and hornblende minerals, C: granular texture with plagioclase and quartz mineral assemblage. The Kuh-e Belghais area includes D: granite porphyry intrusive rock, E: hand specimen of quartz and K-feldspar minerals, F: porphyry texture with quartz phenocryst. The Qeynarjeh area includes G: granodiorite intrusive rock, H: hand specimen of plagioclase, hornblend, and quartz minerals, I: microgranular texture with plagioclase and quartz mineral assemblage. Abbreviations after Warr (1994) i(Qz: quartz, Pl: plagioclase, Px: pyroxene, Hb: hornblende, K-spar: K-feldspar, Amp: amphibole). Abbreviations of photomicrographs: TL: transmitted light, XPL: cross-polarized light.

جدول ۱. داده های زمین شیمی سنگ کل در دنباله های نفوذی ناحیه قینرجه- انگوران

Table 1. Whole-rock geochemical data at intrusive suites of the Qeynarjeh-Angouran district

Location		Gharavol-Khane									
Rock type		Quartz monzodiorite (n=5)					Quartz diorite (n=5)				
Sample no.		Gh-1	Gh-2	Gh-3	Gh-4	Gh-5	Gh-8	Gh-9	Gh-10	Gh-11	Gh-12
Major oxides (wt.%)											
SiO ₂	55.37	52.35	53.99	52.77	52.21	54.73	53.17	53.69	56.92	57.72	
TiO ₂	0.76	0.99	0.70	0.51	0.84	0.83	1.15	0.91	1.02	0.76	
Al ₂ O ₃	17.99	18.24	16.55	17.72	17.76	16.12	17.27	16.25	18.08	16.82	
Fe ₂ O ₃	7.22	7.41	7.82	5.99	8.06	8.44	7.03	7.42	7.35	6.73	
MnO	0.13	0.06	0.15	0.10	0.15	0.17	0.12	0.14	0.14	0.09	
MgO	3.37	2.62	2.78	3.96	3.89	4.61	3.82	4.58	2.04	3.13	
CaO	8.97	8.96	10.11	10.44	11.29	10.26	10.53	11.17	7.74	6.24	
Na ₂ O	3.05	2.75	3.11	3.33	2.22	2.51	3.32	2.94	3.54	3.63	
K ₂ O	2.00	2.53	3.72	3.70	2.61	2.17	2.49	2.21	2.38	3.13	
P ₂ O ₅	0.17	0.23	0.18	0.13	0.15	0.02	0.21	0.18	0.23	0.21	
LOI	0.80	3.69	0.71	0.95	1.16	0.03	1.29	1.07	0.36	1.00	
Total	99.83	99.83	99.82	99.60	100.34	99.89	100.40	100.56	99.80	99.46	
Mg#	28.65	23.32	23.42	36.26	29.34	31.97	31.86	34.69	19.28	28.58	
Trace elements and REE (ppm)											
Ba	274.00	373.00	188.00	139.00	127.00	72.00	390.00	154.00	345.00	443.00	
Cs	2.60	1.20	0.50	1.50	1.10	0.10	0.70	1.90	2.65	0.80	
Ga	17.02	20.05	17.12	16.41	16.79	18.49	16.01	18.31	20.00	15.84	
Nb	10.00	11.00	10.00	8.00	20.00	8.00	9.00	4.00	16.00	18.00	
Ta	1.20	1.67	1.82	1.00	1.30	2.82	2.70	2.60	3.60	3.00	
Rb	69.01	67.40	42.58	19.62	34.05	5.09	40.37	33.91	83.18	71.28	
Sr	203.00	266.00	390.00	333.00	290.00	339.00	365.00	313.00	271.00	247.00	
Th	5.90	6.60	5.00	4.10	5.50	4.10	3.50	4.20	7.21	8.00	
U	1.59	2.24	1.91	1.34	2.31	1.03	1.37	1.38	1.89	1.76	
Zr	128.00	142.00	138.00	62.00	101.00	24.00	107.00	64.00	176.00	175.00	

Note: LOI= loss on ignition; Eu/Eu*= Eu_N/(Sm_N×Gd_N)^{1/2}; Ce/Ce*= Ce_N/(La_N×Pr_N)^{1/2}; Mg#= [100*molar Mg/(Mg+Fe)]; T_{Zr}= Zircon saturation temperature calculated from the whole-rock compositions ([Miller and Wooden, 2004](#)).

ادامه جدول ۱. داده های زمین شیمی سنگ کل در دنباله های نفوذی ناحیه قینجه- انگوران

Table 1 (Continued). Whole-rock geochemical data at intrusive suites of the Qeynarjeh-Angouran district

Rock type Sample no.	Gharavol-Khane									
	Quartz monzodiorite (n=5)					Quartz diorite (n=5)				
	Gh-1	Gh-2	Gh-3	Gh-4	Gh-5	Gh-8	Gh-9	Gh-10	Gh-11	Gh-12
Hf	2.34	3.76	3.70	3.10	3.87	4.72	4.20	3.34	3.34	4.40
V	168.00	156.00	145.00	130.00	187.00	229.00	236.00	259.00	144.00	116.00
W	0.35	0.45	0.43	0.20	0.20	0.88	1.00	1.10	1.00	1.10
Y	22.10	27.20	17.60	14.70	25.30	8.60	21.70	19.00	29.56	21.80
Pb	1.00	2.00	1.00	2.00	2.00	2.00	3.00	1.00	1.00	1.00
Rare Earth Elements (REE) (ppm)										
La	14.60	20.20	12.70	7.60	13.60	12.40	14.50	7.50	21.88	19.20
Ce	32.20	44.10	28.80	18.80	32.90	23.00	31.70	19.60	47.77	39.30
Pr	3.64	5.30	3.33	2.22	3.91	3.71	3.82	2.58	5.81	4.32
Nd	14.30	21.00	14.00	9.70	15.70	13.80	16.00	11.44	22.68	16.20
Sm	3.48	4.70	3.10	2.49	3.61	3.15	3.86	3.16	5.12	3.70
Eu	0.87	1.34	0.78	0.68	1.04	1.23	1.04	0.86	1.27	0.93
Gd	3.68	4.83	3.03	2.68	4.09	3.34	3.89	3.28	5.00	3.49
Tb	0.60	0.76	0.49	0.45	0.64	0.44	0.63	0.57	0.86	0.63
Dy	3.46	4.33	2.87	2.55	3.80	2.39	3.73	3.29	4.94	3.70
Ho	0.76	0.92	0.57	0.50	0.84	0.52	0.75	0.65	1.07	0.74
Er	2.18	2.85	1.90	1.45	2.41	1.90	2.19	1.87	3.01	2.08
Tm	0.33	0.40	0.26	0.22	0.39	0.23	0.31	0.25	0.45	0.34
Yb	2.04	2.70	1.86	1.36	2.25	1.81	2.10	1.58	2.66	1.87
Lu	0.29	0.39	0.30	0.22	0.32	0.34	0.31	0.24	0.44	0.27
ΣREE	82.47	113.85	74.03	50.88	85.53	38.27	84.73	56.86	122.95	96.81
LREE/HREE	4.80	5.15	5.14	4.04	4.42	4.61	7.12	3.52	5.24	5.88
La _N /Yb _N	4.77	4.98	4.56	3.71	4.02	4.59	4.61	3.16	5.49	6.85
Eu/Eu*	0.70	0.81	0.73	0.76	0.78	1.09	0.77	0.77	0.72	0.74
Ce/Ce*	1.06	1.02	1.06	1.10	1.08	0.81	1.02	1.07	1.02	1.03
T _{Zr} (°C)	693.90	699.70	654.00	603.90	643.90	561.00	642.50	600.20	729.50	733.00

Note: LOI= loss on ignition; Eu/Eu*= Eu_N/(Sm_N×Gd_N)^{1/2}; Ce/Ce*= Ce_N/(La_N×Pr_N)^{1/2}; Mg#= [100*molar Mg/(Mg+Fe)]; T_{Zr}= Zircon saturation temperature calculated from the whole-rock compositions (Miller and Wooden, 2004).

ادامه جدول ۱. داده های زمین شیمی سنگ کل در دنباله های نفوذی ناحیه قیرجه- انگوران

Table 1 (Continued). Whole-rock geochemical data at intrusive suites of the Qeynarjeh-Angouran district

Location	Kuh-e Belghais					Qeynarjeh				
	Granite porphyry (n=5)					Granodiorite (n=5)				
Rock type	Bl-17	Bl-18	Bl-19	Bl-20	Bl-21	Qn-23	Qn-24	Qn-29	Qn-30	Qn-31
Sample no.	Bl-17	Bl-18	Bl-19	Bl-20	Bl-21	Qn-23	Qn-24	Qn-29	Qn-30	Qn-31
Major elements (wt.%)										
SiO ₂	70.12	73.07	75.65	74.8	75.21	66.84	64.18	70.49	69.87	70.06
TiO ₂	0.60	0.90	0.70	0.70	0.60	0.38	0.45	0.16	0.24	0.18
Al ₂ O ₃	14.73	13.21	12.77	11.34	13.1	15.47	17.15	13.31	14.74	14.91
Fe ₂ O ₃	1.58	2.27	2.17	1.34	1.09	3.31	3.64	3.89	4.04	3.72
MnO	0.01	0.01	0.02	0.02	0.03	0.09	0.12	0.01	0.04	0.02
MgO	1.00	0.32	0.42	0.71	0.14	1.07	1.27	0.17	0.51	0.19
CaO	2.19	1.72	1.44	2.79	1.25	3.93	5.33	4.25	3.88	2.04
Na ₂ O	4.13	3.86	3.18	4.28	4.25	3.62	3.76	2.91	3.26	4.54
K ₂ O	2.48	2.75	2.72	2.47	2.45	3.93	2.33	3.25	2.88	3.04
P ₂ O ₅	0.07	0.09	0.03	0.02	0.08	0.23	0.39	0.12	0.14	0.1
LOI	2.29	1.52	1.42	2.03	1.34	0.91	1.14	0.55	0.65	0.93
Total	99.2	99.72	100.52	100.5	99.54	99.78	99.76	99.11	100.25	99.69
Mg#	35.26	10.81	14.27	31.31	9.95	21.76	23.09	3.62	9.79	4.21
Trace elements and REE (ppm)										
Ba	38.00	39.00	42.00	52.00	19.00	525.00	599.00	578.00	847.00	866.00
Cs	0.29	0.25	0.43	0.24	0.22	0.24	0.50	0.31	0.27	0.71
Ga	18.10	14.63	13.48	15.61	12.14	16.03	16.19	14.73	15.43	14.51
Nb	14.00	17.00	19.00	15.00	11.00	23.00	14.00	16.00	14.00	16.00
Ta	1.10	1.76	1.65	1.70	1.78	2.60	5.50	3.63	2.10	2.67
Rb	12.89	18.28	18.37	15.25	13.89	57.15	61.01	114.67	90.62	97.03
Sr	235.00	147.00	123.00	216.00	161.00	260.00	315.00	274.00	278.00	292.00
Th	9.60	18.99	19.63	14.63	15.92	22.66	15.90	29.83	19.72	15.93
U	0.68	1.39	1.01	1.25	0.76	4.51	2.59	2.15	2.58	2.42
Zr	119.00	101.00	125.00	102.00	122.00	182.00	163.00	146.00	258.00	225.00
Hf	6.10	7.65	6.65	6.75	6.56	8.30	7.40	5.20	6.10	7.10
V	37.00	6.00	4.00	20.00	4.00	28.00	36.00	10.00	28.00	17.00
W	23.21	12.12	15.32	15.21	16.23	5.60	3.43	4.20	7.60	3.56
Y	21.25	21.02	22.79	31.69	27.72	40.76	22.93	14.73	16.15	18.00
Pb	1.00	1.00	2.00	1.00	2.00	3.00	3.00	1.00	2.00	2.00

Note: LOI= loss on ignition; Eu/Eu*= Eu_N/(Sm_N×Gd_N)^{1/2}; Ce/Ce*= Ce_N/(La_N×Pr_N)^{1/2}; Mg#= [100*molar Mg/(Mg+Fe)]; T_{Zr}= Zircon saturation temperature calculated from the whole-rock compositions ([Miller and Wooden, 2004](#)).

ادامه جدول ۱. داده‌های زمین‌شیمی سنگ کل در دنباله‌های نفوذی ناحیه قیرچه-انگوران

Table 1 (Continued). Whole-rock geochemical data at intrusive suites of the Qeynarjeh-Angouran district

Location	Kuh-e Belghais						Qeynarjeh			
	Rock type	Granite porphyry (n=5)					Granodiorite (n=5)			
Sample no.		Bl-17	Bl-18	Bl-19	Bl-20	Bl-21	Qn-23	Qn-24	Qn-29	Qn-30
Rare Earth Elements (REE) (ppm)										
La	9.60	10.62	5.41	5.12	8.68	41.28	32.06	23.35	30.17	50.06
Ce	35.25	56.25	21.99	27.61	26.41	98.27	62.21	59.01	62.97	81.09
Pr	5.23	5.05	2.13	2.53	3.66	8.74	6.25	5.39	6.23	7.18
Nd	23.40	21.76	14.43	16.33	12.74	32.05	22.47	18.54	21.58	22.64
Sm	4.94	6.50	2.41	1.55	2.75	5.47	4.22	3.69	3.57	4.48
Eu	0.38	0.25	0.10	0.14	0.15	0.90	0.88	0.78	0.97	0.76
Gd	4.53	6.72	3.08	1.74	1.56	5.35	4.04	3.18	2.97	3.09
Tb	0.68	1.29	0.59	0.28	0.17	0.80	0.65	0.56	0.44	0.54
Dy	3.69	5.76	4.08	2.79	2.18	4.58	3.78	2.83	2.48	2.93
Ho	0.73	1.59	1.03	0.37	0.28	0.93	0.75	0.58	0.46	0.58
Er	2.15	4.46	2.94	1.10	0.75	3.17	2.34	2.07	1.72	1.83
Tm	0.28	0.63	0.46	0.15	0.10	0.41	0.36	0.27	0.26	0.29
Yb	1.74	2.92	2.54	1.07	1.05	3.10	2.13	1.65	1.79	2.08
Lu	0.24	0.53	0.49	0.16	0.10	0.49	0.34	0.30	0.30	0.26
Σ REE	92.90	124.39	61.73	61.01	60.65	205.61	142.54	122.26	136.00	177.87
LREE/HREE	5.42	4.14	3.02	6.77	8.50	9.40	8.31	.98	10.89	13.34
La _N /Yb _N	3.66	2.42	1.41	3.18	5.47	8.86	10.02	9.41	11.19	16.01
Eu/Eu*	0.23	0.11	0.11	0.25	0.21	0.48	0.61	0.65	0.85	0.58
Ce/Ce*	1.19	1.85	1.55	1.84	1.12	1.24	1.05	1.26	1.10	1.03
T _{Zr} (°C)	763.60	750.80	781.30	719.00	772.00	769.30	760.80	751.20	813.60	811.10

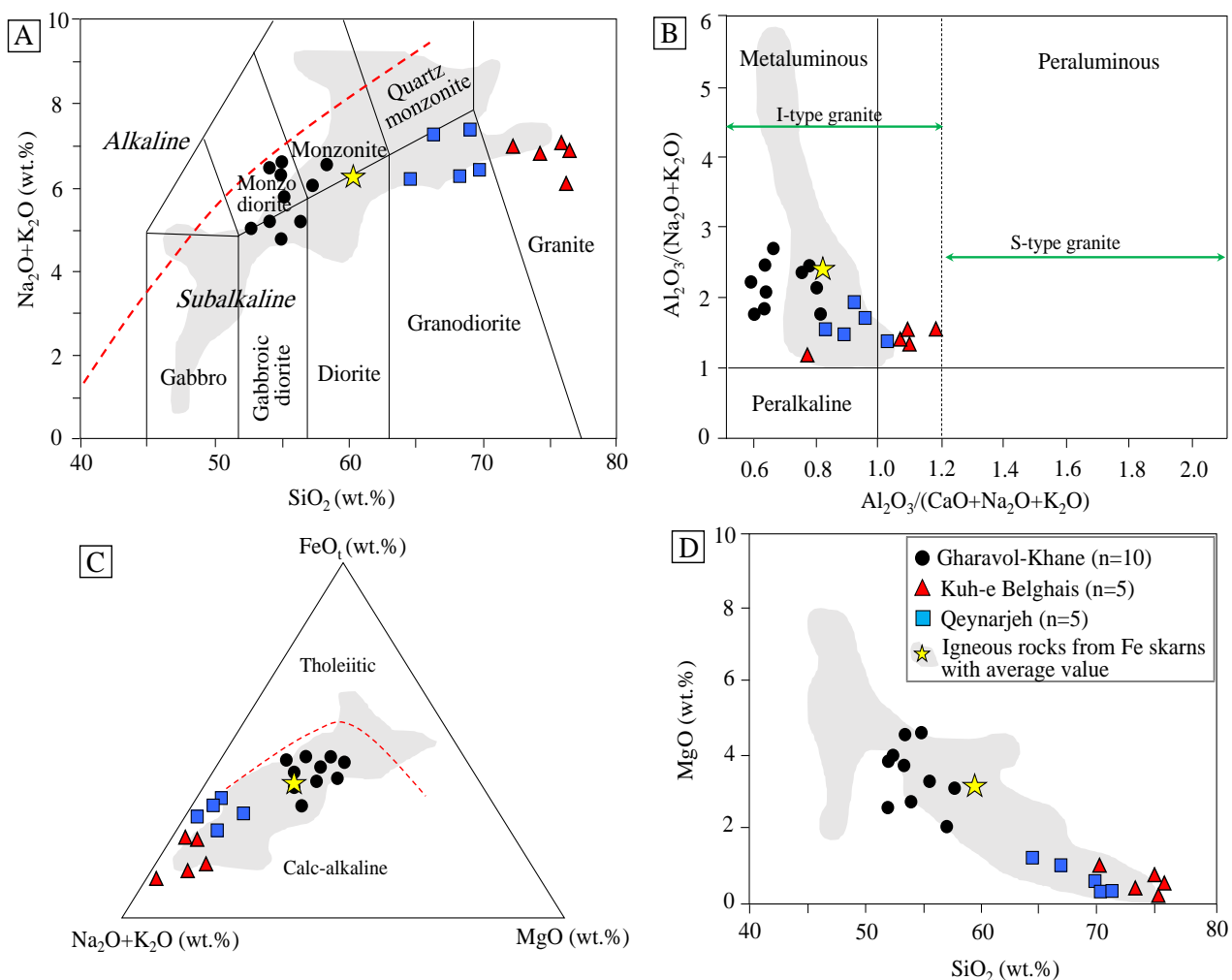
Note: LOI= loss on ignition; Eu/Eu*= Eu_N/(Sm_N×Gd_N)^{1/2}; Ce/Ce*= Ce_N/(La_N×Pr_N)^{1/2}; Mg#= [100*molar Mg/(Mg+Fe)]; T_{Zr}= Zircon saturation temperature calculated from the whole-rock compositions (Miller and Wooden, 2004).

مونزودیوریت-مونزونیت، گرانودیوریت و گرانیت قرار گرفته (شکل ۴). درجه اشباعی از آلومینا (Chappell and White, 2001) در دنباله‌های نفوذی مورد بررسی با نسبت مولار Al₂O₃/(CaO+Na₂O+K₂O) ۰/۵۰ تا ۱/۲۰ متعلق به سری

در نمودار دوتایی Na₂O+K₂O در مقابل SiO₂ موسوم به نمودار TAS، اصلاح شده توسط بلینی و همکاران (Bellieni et al., 1996)، دنباله‌های نفوذی زیر منحنی ساب آلکالان (منطبق با ترکیب عمومی گرانیتوئیدهای اسکارن آهن دنیا) و محدوده سنگ‌های

یوده و (شکل ۴-C) و با توجه به نمودار دوتایی MgO در مقابل SiO_2 (Meinert, 1995) در محدوده گرانیتوئیدهای مولد اسکارن آهن تصویر شده‌اند (شکل ۴-D).

متالومین تا کمی پرآلومین و زیرنوع گرانیت I منسوب خواهد بود (شکل ۴-B). بر اساس نمودار سه‌تایی AFM (Irvine and Baragar, 1971) کلیه نمونه‌ها متعلق به سری ماگمایی کالک‌آلکالن



شکل ۴. نمودارهای زمین شیمی عناصر اصلی در دنباله‌های نفوذی ناحیه قیرچه-انگوران. A: نمودار دوتایی Na_2O+K_2O در مقابل SiO_2 , اصلاح شده توسط بلینی و همکاران (Bellieni et al., 1996), B: نمودار درجه اشباعی آلومینا (Chappell and White, 2001) با منحنی تمایز تولیتی از کالک‌آلکالن (Meinert, 1995) و C: نمودار دوتایی SiO_2 در مقابل MgO در مقابل (Irvine and Baragar, 1971) و D: نمودار دوتایی MgO در مقابل SiO_2 (Meinert, 1995). ترکیب اسکارن‌های آهن دنیا توسط ماینت (Meinert, 1995) برای مقایسه نشان داده شده است.

Fig. 4. Geochemical diagrams of major elements at intrusive suites of the Qeynarjeh-Angouran district. A: Na_2O+K_2O versus SiO_2 diagram, modified from Bellieni (Bellieni et al., 1996), B: Aluminum saturation index diagram (Chappell and White, 2001), C: AFM diagram with calc-alkali-tholeiitic boundary line (Irvine and Baragar, 1971), and D: MgO versus SiO_2 diagram by Meinert (Meinert, 1995). The composition of Fe skarns worldwide (from Meinert, 1995) are shown for comparison.

محتوای Y/Sr/Y نیز در توده‌های نفوذی قراول خانه (متوسط ۱۴/۵۸) و قیزرجه (متوسط ۱۴/۴۳) و کمترین آن در توده کوه بلقیس (متوسط ۷/۲۲) ثبت شده است.

طبق بررسی‌ها، LILE پانسیل یونی بالابی داشته و در فشار و دمای بالا در مذاب سیلیکاتی حل شده و انتقال می‌یابند؛ اما انحلال پذیری HFSE در مذاب پایین بوده و به همین دلیل در هنگام ذوب بخشی، LILE نسبت به HFSE غنی می‌شوند (Tatsumi et al., 1986). بر اساس نمودار بهنجارشده با گوشتۀ اولیه، تهی شدگی از عناصر Ti و Nb همزمان با غنی شدگی Ba، Rb، Th و U بیانگر شکل‌گیری Wilson (1989) (شکل ۵) است. نسبت به REE در عناصر Ti و P در اغلب نمودارها، به ترتیب گویای ارتباط سنگ‌نگاری-شیمیابی تبلور کانی‌های تیتانیت (اسفن) و آپاتیت در مراحل تفرقی هاگمامی است (شکل ۵). بیشترین آنومالی Ce/Ce* در واحد گرانیت پورفیری کوه بلقیس (متوسط ۱/۱۵) و کمترین آن به ترتیب در کوارتزدیوریت قراول خانه (متوسط ۱/۰۲) و گرانودیوریت قیزرجه (متوسط ۱/۱۳) به دست آمده است. سایر نسبت‌های عنصری محاسبه شده در جدول ۱ ارائه شده است.

سنگ‌نگاری و شیمی بلور آپاتیت

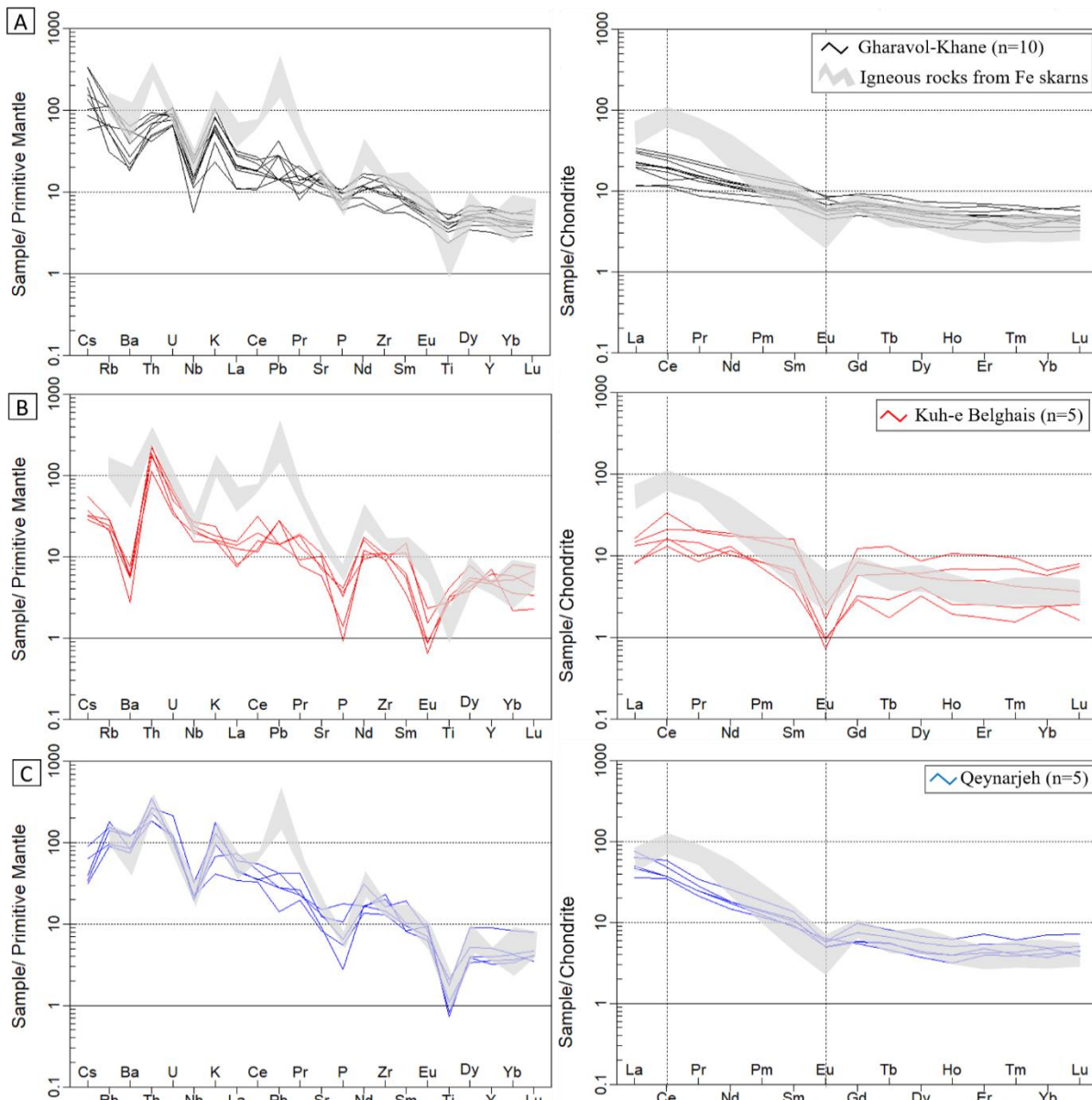
طبق شواهد سنگ‌نگاری و زمین شیمیابی، آپاتیت‌های موجود در دنباله‌های نفوذی قراول خانه، کوه بلقیس و قیزرجه به ترتیب با حروف Ap1، Ap2 و Ap3، نام گذاری شده است. بلورهای Ap1 (ابعاد متغیر ۴۰۰ تا ۵۰۰ میکرون)، با ظاهر کشیده و همگن به صورت بلورهای ادخال در میزبان پیروکسن (شکل ۶) یا همراه کانی‌های پلاژیوکلاز و اپیدوت (شکل ۶) در کوارتزدیوریت‌های قراول خانه شناسایی شده است. بلورهای Ap2 (ابعاد ۲۰ تا ۱۰۰ میکرون) به صورت نیمه‌شکل دار تابی شکل همراه کانی‌های کوارتز، کلسیت و پلاژیوکلاز در توده گرانیت پورفیری کوه بلقیس مشاهده شده است (شکل ۶). بلورهای Ap3 (ابعاد ۱۰۰ تا ۵۰۰ میکرومتر) با ظاهر E و F. نیمه‌شکل دار تابی شکل، به صورت درهم‌رشدی با مجموعه کانی‌های

عناصر کمیاب و کمیاب خاکی

مجموع عناصر کمیاب خاکی در دنباله‌های نفوذی مورد بررسی به ترتیب در کوارتزدیوریت قراول خانه بین ۵۰/۸۸ ppm تا ۱۲۲/۹۶ ppm (متوسط ۸۳/۶۴ ppm)، گرانیت پورفیری کوه بلقیس بین ۶۰/۶۵ ppm (متوسط ۱۲۶/۳۹ ppm) و گرانودیوریت قیزرجه بین ۸۰/۱۴ ppm (متوسط ۱۵۶/۸۶ ppm) است (جدول ۱). بر این اساس، محتوای REE در گرانودیوریت‌های منطقه قیزرجه به طور متسط دو برابر دیگر مناطق است. همچنین، نسبت عناصر کمیاب خاکی سبک به سنگین در دنباله‌های نفوذی قراول خانه بین ۳/۵۲ تا ۷/۱۲ (متسط ۴/۹۹)، کوه بلقیس بین ۳/۰۲ تا ۸/۵۰ (متسط ۵/۵۷) و قیزرجه بین ۱۳/۳۴ تا ۸/۳۱ (متسط ۱۰/۱۸) است که این نسبت در گرانودیوریت‌های منطقه قیزرجه به طور متسط دو برابر سایر توده‌هاست. طبق شواهد زمین شیمیابی، به ترتیب بیشترین تا کمترین محتوای عناصر لیتوفیل بزرگ یون شامل مجموع عناصر Rb، Th، Ba، Rb، K و Pb در گرانودیوریت قیزرجه (متسط ۷۹۳/۹۵ ppm) و واحد گرانیت پورفیری کوه بلقیس (متسط ۳۰۶/۴۸ ppm) است. تغییرات عناصر با شدت میدان بالا شامل Nb، Ta و Ti تهی شدگی بارزی در تمام نمونه‌های بهنجارشده با ترکیب گوشتۀ اولیه، داده‌ها از سان و مکدونوف (Sun and McDonough, 1989) نشان می‌دهد که مجموع غلاظت آنها به تدریج از توده نفوذی قراول خانه (متسط ۱۴/۰۸ ppm) به منطقه کوه بلقیس (متسط ۱۷/۲۱ ppm) و در نهایت گرانودیوریت قیزرجه (متسط ۲۰/۰۶ ppm) افزایش می‌یابد. همچنین، در نمودار بهنجارشده با کندریت (Boynton, 1984)، غنی شدگی LREE نسبت به HREE و یک تهی شدگی در موقعیت Eu مشاهده می‌شود (شکل ۵-۶). به علت سازگاری Eu در ترکیب پلاژیوکلاز و آلکالی فلدسپار، تهی شدگی در موقعیت Eu اغلب توسط فلدسپارها کنترل می‌شود (Rollinson, 1993). طبق شواهد، مقادیر کم آنومالی Eu/Eu* در کوارتزدیوریت قراول خانه (متسط ۰/۷۸) و گرانودیوریت قیزرجه (متسط ۰/۶۳) و مقادیر بالای آنومالی در گرانیت پورفیری کوه بلقیس (متسط ۰/۱۸) به دست آمده است. متناظر با آن، بیشترین

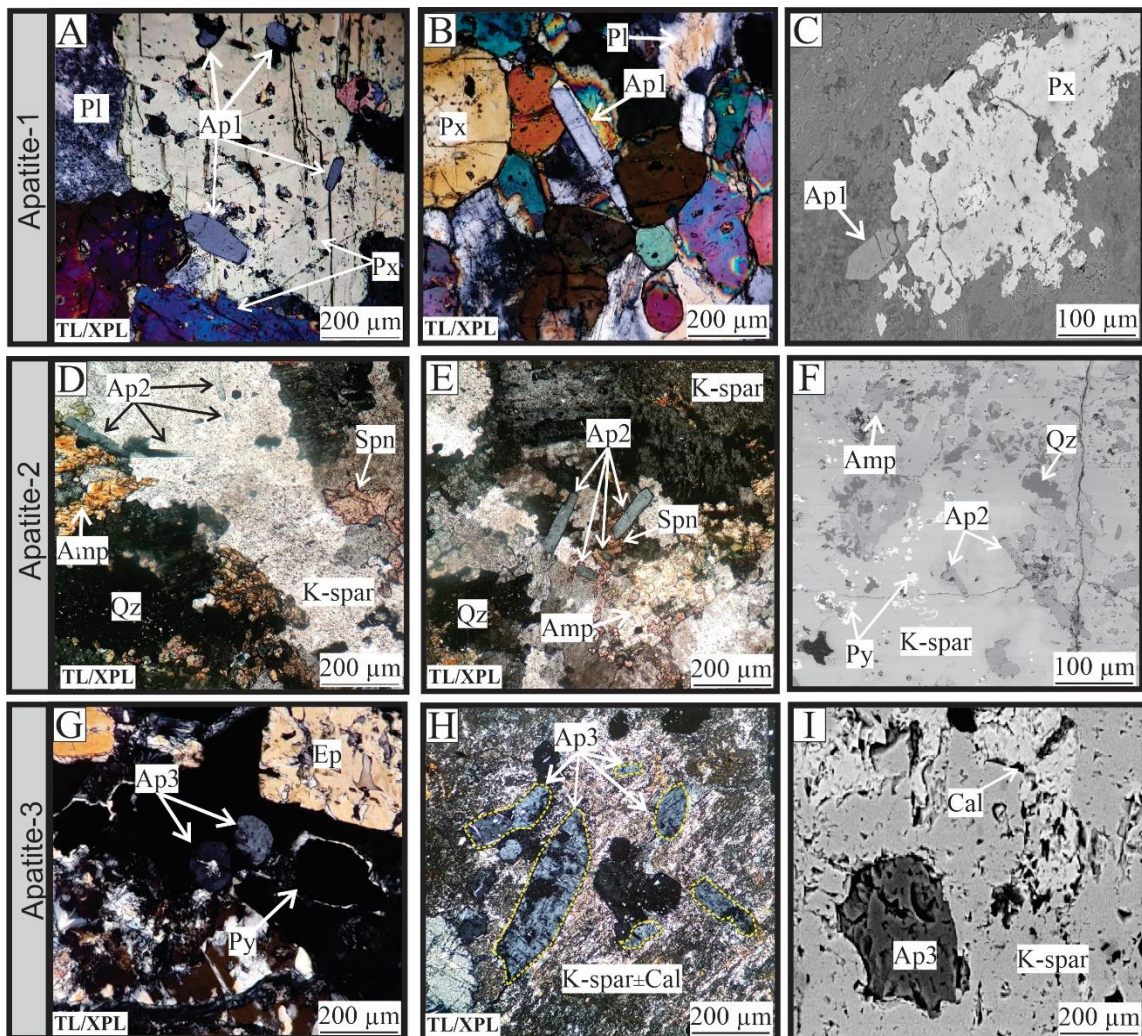
تصویرهای SEM ادخال های Ap3 (بعد متوسط ۴۰۰ میکرومتر) در میزبان فلدسپارپتاسیم مشاهده شد (شکل ۶-I).

پلاژیو کلاز، فلدسپارپتاسیم و کوارتز در میزبان واحد سنگی گرانودیوریت قیرچه شناسایی شده است (شکل ۶-G, H و I). در



شکل ۵. نمودارهای عنکبوتی عناصر کمیاب بهنجارشده با گوشته اولیه (Sun and McDonough, 1989) و عناصر کمیاب خاکی بهنجارشده با کندریت (Boynton, 1984) در دنباله های نفوذی ناحیه قیرچه-انگوران. A: توده کوارتزدیوریت قراول خلنگ، B: واحد گرانیت پورفیری کوه بلقیس و C: واحد گرانودیوریت قیرچه. ترکیب توده های نفوذی مربوط با ذخایر اسکارن آهن دنیا توسط ماینرت (Meinert, 1995) برای مقایسه نشان داده شده است.

Fig. 5. Primitive mantle-normalized trace element (normalizing data for all elements are from Sun and McDonough, 1989) and Chondrite-normalized REE (normalizing data for all elements are from Boynton, 1984) spidergram at intrusive suites of the Qeynarjeh-Angouran district. A: Gharavol-Khane quartzdiorite, B: Kuh-e Belgais granite porphyry, and C: Qeynarjeh granodiorite. The composition of intrusive rocks with Fe skarns worldwide by Meinert (Meinert, 1995) are shown for comparison.



شکل ۶. تصویرهای میکروسکوپی و SEM از آپاتیت‌ها در دنباله‌های نفوذی ناحیه قیزجه-انگوران. تصویر بلورهای Ap1 در کوارتزدیوریت منطقه قراولخانه شامل A: بلورهای Ap1 به صورت ادخال در میزان پیروکسن، B: همراهی بلور کشیده Ap1 با کانی‌های پلاژیوکلاز و پیروکسن، C: تصویر SEM از همراهی Ap1 با بلور پیروکسن. تصویر بلورهای Ap2 در گرانیت پورفیری کوه بلقیس شامل D: بلورهای پراکنده Ap2 در زمینه فلدسپارپاتاسیم، E: تجمع بلورهای Ap2 در گرانودیوریت فلدسپارپاتاسیم و همراهی با کانی‌های کوارتز و آمفیول، F: تصویر SEM از بلورهای پراکنده Ap2 در زمینه فلدسپارپاتاسیم. تصویر بلورهای Ap3 در گرانودیوریت قیزجه شامل G: همراهی بلورهای Ap3 با کانی‌های اپیدوت و پیریت، H: بلورهای Ap3 در زمینه فلدسپارپاتاسیم \pm کلسیت و I: تصویر SEM از ادخال Ap3 در فلدسپارپاتاسیم. علائم اختصاری کانی‌ها از وار (Warr, 1994) اقتباس شده است (Ep: اپیدوت، Pl: پلاژیوکلاز، Py: پیریت، Cal: کلسیت، Ap: آپاتیت، Px: پیروکسن، Qz: کوارتز، K-spar: فلدسپارپاتاسیم، Amp: آمفیول، Spn: اسفن). علائم اختصاری میکروسکوپی شامل TL: نور عبوری، XPL: نور متقطع پلاریزه است.

Fig. 6. Photomicrographs and SEM images of apatites at intrusive suites of the Qeynarjeh-Angouran district. Ap1 crystals in Gharavol-Khane quartz diorite including A: Ap1 crystals as inclusions within pyroxene, B: association of Ap1 with plagioclase and pyroxene minerals, C: SEM image of Ap1 association with pyroxene crystal. Ap2 crystals in Kuh-e Belghais granite porphyry including D: Ap2 crystals within K-feldspar, E: Ap2 crystals within K-feldspar and coexist by quartz and amphibole, F: SEM image from Ap2 within K-feldspar. Ap3 crystals in Qeynarjeh granodiorite including G: Association of Ap3 crystals with epidote and pyrite minerals, H: Ap3 crystals in K-feldspar \pm calcite context, and I: SEM image of Ap3 inclusions within K-feldspar. Abbreviations after Warr (1994) (Ep: epidote, Pl: plagioclase, Py: pyrite, Cal: calcite, Ap: apatite, Px: pyroxene, Qz: quartz, K-spar: K-feldspar, Amp: amphibole, Spn: sphene). Abbreviations of photomicrographs: TL: transmitted light, XPL: cross-polarized light.

(متوسط ۱/۴۳ wt.% Ap3) و سپس به Ap2 (متوسط ۱/۹۳ wt.%). کاهش می‌یابد؛ در حالی که فراوانی کلر روند معکوس داشته و از Ap1 (متوسط ۰/۲۳ wt.% Ap2) به Ap3 (متوسط ۰/۵۷ wt.% Ap2) و سپس (متوسط ۰/۶۰ wt.% Ap3) افزایش می‌یابد (شکل ۶-B). رابطه معکوس فلور و کلر در ترکیب آپاتیت بیانگر جانشینی این عناصر به دلیل شعاع Liu یونی مشابه بوده که در پژوهش‌های پیشین گزارش شده است (et al., 2008; Wu et al., 2003) همبستگی مثبتی با فلور نشان می‌دهد که مقدار آن به ترتیب از Ap1 (متوسط ۰/۰۵ wt.% Ap2) به Ap3 (متوسط ۰/۰۴ wt.% Ap2) و (متوسط ۰/۰۱ wt.% Ap3) روندی کاهشی دارد (شکل ۶-C).

نتایج به دست آمده از تجزیه ریز کاوالکترونی بلورهای مختلف آپاتیت در جدول ۲ ارائه شده است. بر این اساس، تفاوت آشکاری در محتوای عناصر اصلی CaO و P₂O₅ در بلورهای Ap1، Ap2 و Ap3 وجود ندارد. محتوای CaO در Ap1 بین ۵۴/۶۸ wt.% تا ۵۶/۶۸ wt.% (متوسط ۵۵/۶۶ wt.%)، در Ap2 بین ۵۵/۳۹ wt.% تا ۵۵/۶۶ wt.% (متوسط ۵۵/۶۵ wt.%)، در Ap3 بین ۵۵/۵۰ wt.% تا ۵۵/۹۷ wt.% (متوسط ۵۵/۷۹ wt.% در Ap2 بین ۴۱/۴۹ wt.% تا ۴۱/۲۵ wt.% در Ap3 بین ۴۱/۰۳ wt.% تا ۴۱/۱۲ wt.% در Ap1) به دست آمد. همچنین، محتوای P₂O₅ در Ap1 بین ۴۱/۷۸ wt.% تا ۴۱/۷۵ wt.% (متوسط ۴۱/۷۸ wt.% در Ap2) در Ap3 بین ۴۱/۵۰ wt.% تا ۴۱/۴۳ wt.% (متوسط ۴۱/۴۳ wt.% در Ap2) ثبت شده است (جدول ۲). در خصوص فراوانی هالوژن‌ها، تمرکز فلور به ترتیب از Ap1 (متوسط ۲/۳۹ wt.% به

جدول ۲. نتایج تجزیه ریز کاوالکترونی از ترکیب آپاتیت‌ها در دنباله‌های نفوذی ناحیه قینرجه-انگوران

Table 2. EPMA results from apatites composition at intrusive suites of the Qeynarjeh-Angouran district

Point no.	Apatite-1 (Gharavol-Khane)									
	Major oxides (wt.%)									
FeO	0.03	0.03	0.02	0.03	0.04	0.06	0.08	0.07	0.06	0.03
TiO ₂	bdl	bdl	bdl	bdl	bdl	0.01	bdl	bdl	bdl	bdl
Cr ₂ O ₃	0.02	bdl	bdl	bdl	bdl	bdl	0.02	0.01	bdl	bdl
Na ₂ O	bdl	bdl	0.01	bdl	0.05	0.06	0.05	bdl	bdl	0.04
P ₂ O ₅	41.58	41.35	41.75	41.21	41.26	41.44	41.12	41.35	41.68	41.32
SiO ₂	0.11	0.14	0.17	0.16	0.15	0.17	0.14	0.17	0.17	0.16
MgO	bdl	0.01	0.01	bdl						
MnO	0.11	0.07	0.09	0.11	0.13	0.12	0.04	0.08	0.07	0.11
K ₂ O	bdl	bdl	bdl	bdl	bdl	bdl	0.01	bdl	bdl	bdl
CaO	55.61	54.68	54.68	55.57	55.70	55.53	55.69	56.03	55.76	55.97
F	2.31	2.37	2.69	2.46	2.17	2.26	2.65	2.15	2.64	2.23
Cl	0.20	0.26	0.32	0.34	0.23	0.24	0.20	0.13	0.15	0.24
S	0.03	0.03	0.07	0.04	0.04	0.05	0.06	0.04	0.05	0.06
Total	97.47	96.27	96.73	97.08	97.33	97.39	97.15	97.71	97.11	97.63
Number of cations on the basis of 13O										
Si	0.01	0.02	0.02	0.02	0.02	0.02	0.02	0.02	0.02	0.02

ادمه جدول ۲. نتایج تجزیه ریز کاوالکترونی از ترکیب آپاتیت‌ها در دنباله‌های نفوذی ناحیه قینجه-انگوران

Table 2 (Continued). EPMA results from apatites composition at intrusive suites of the Qeynarjeh-Angouran district

	Ti	0.00	0.00	0.00	0.00	0.00	0.00	0.00	0.00	0.00	
	Fe	0.00	0.00	0.00	0.00	0.01	0.01	0.02	0.02	0.01	0.00
	Mn	0.03	0.02	0.02	0.03	0.03	0.03	0.01	0.02	0.02	0.03
	Mg	0.00	0.00	0.00	0.00	0.00	0.00	0.00	0.00	0.00	0.00
	Ca	16.10	16.21	15.74	16.08	16.20	16.08	16.28	16.25	15.85	16.06
	Na	0.00	0.00	0.00	0.00	0.02	0.03	0.02	0.00	0.00	0.02
	K	0.00	0.00	0.00	0.00	0.00	0.00	0.00	0.00	0.00	0.00
	F	1.34	1.42	1.37	1.28	1.32	1.36	1.31	1.29	1.32	1.35
	Cl	0.06	0.08	0.10	0.11	0.07	0.07	0.06	0.04	0.04	0.08
	S	0.02	0.02	0.04	0.02	0.02	0.03	0.10	0.02	0.03	0.04
	OH	1.14	1.10	1.12	1.16	1.15	1.13	1.16	1.17	1.15	1.14
	Apatite-2 (Kuh-e Belgheis)										
Point no.	P2-1	P2-2	P2-3	P2-4	P2-5	P2-6	P2-7	P2-8	P2-9	P2-10	
	Major oxides (wt.%)										
FeO	0.01	0.02	0.04	0.01	0.02	0.02	0.05	0.03	0.05	0.03	
TiO ₂	bdl	0.01	bdl	0.02	bdl	0.02	bdl	bdl	bdl	bdl	
Cr ₂ O ₃	bdl	bdl	bdl	bdl	0.01	bdl	0.02	bdl	bdl	bdl	
Na ₂ O	0.02	bdl	bdl	bdl	0.03	0.02	bdl	bdl	0.01	bdl	
P ₂ O ₅	41.74	41.36	41.38	41.62	41.45	41.22	41.62	41.68	41.05	41.03	
SiO ₂	0.07	0.08	0.06	0.09	0.08	0.14	0.10	0.02	0.05	0.08	
MgO	bdl	bdl	bdl	bdl	bdl	0.02	bdl	bdl	bdl	bdl	
MnO	0.13	0.11	0.07	0.10	0.14	0.14	0.12	0.13	0.17	0.16	
K ₂ O	bdl	bdl	bdl	bdl	bdl	bdl	bdl	0.01	bdl	bdl	
CaO	55.93	55.99	55.96	55.97	55.92	55.89	55.97	55.65	55.93	55.95	
F	1.63	1.8	1.44	1.47	1.67	1.87	1.54	1.82	1.73	1.38	
Cl	0.65	0.58	0.64	0.59	0.56	0.55	0.52	0.54	0.6	0.54	
S	0.04	0.07	0.04	0.03	0.03	0.06	0.04	0.04	0.03	0.03	
Total	97.90	97.57	97.51	97.81	97.65	97.47	97.88	97.51	97.26	97.25	
	Number of cations on the basis of 13O										
Si	0.01	0.01	0.00	0.01	0.01	0.02	0.01	0.00	0.00	0.01	
Ti	0.00	0.00	0.00	0.00	0.00	0.00	0.00	0.00	0.00	0.00	
Fe	0.00	0.00	0.01	0.00	0.00	0.00	0.01	0.00	0.01	0.00	
Mn	0.03	0.03	0.02	0.02	0.04	0.04	0.03	0.03	0.04	0.04	
Mg	0.00	0.00	0.00	0.00	0.00	0.00	0.00	0.00	0.00	0.00	
Ca	16.07	16.21	16.39	16.18	16.20	16.26	16.21	16.01	16.23	16.23	
Na	0.01	0.00	0.00	0.00	0.01	0.01	0.00	0.00	0.00	0.00	
K	0.00	0.00	0.00	0.00	0.00	0.00	0.00	0.00	0.00	0.00	
F	1.01	1.10	0.91	0.91	1.03	1.14	0.95	1.12	1.07	0.87	
Cl	0.21	0.19	0.21	0.19	0.18	0.18	0.17	0.17	0.19	0.18	
S	0.02	0.04	0.03	0.02	0.02	0.04	0.02	0.02	0.02	0.02	
OH	1.28	1.24	1.33	1.32	1.27	1.22	1.31	1.23	1.25	1.35	

۱۵۰ جدول ۲. نتایج تجزیه ریز کاوالکترونی از ترکیب آپاتیت‌ها در دنباله‌های نفوذی ناحیه قیرچه-انگوران

Table 2 (Continued). EPMA results from apatites composition at intrusive suites of the Qeynarjeh-Angouran district

Point no.	Apatite-3 (Qeynarjeh)									
	P3-1	P3-2	P3-3	P3-4	P3-5	P3-6	P3-7	P3-8	P3-9	P3-10
Major oxides (wt.%)										
FeO	0.03	0.02	0.03	0.03	0.01	0.02	0.02	0.03	0.03	0.03
TiO ₂	bdl	bdl	bdl	bdl	bdl	0.01	bdl	0.01	bdl	bdl
Cr ₂ O ₃	bdl	0.01	bdl	bdl	0.01	bdl	0.01	bdl	0.01	bdl
Na ₂ O	0.01	bdl	bdl	0.05	0.03	0.05	bdl	0.07	bdl	bdl
P ₂ O ₅	41.51	41.63	41.78	41.32	41.25	41.62	41.68	41.4	41.44	41.33
SiO ₂	0.18	0.18	0.17	0.05	0.19	0.29	0.40	0.07	0.30	0.17
MgO	0.03	0.02	bdl	bdl	bdl	bdl	0.01	bdl	bdl	bdl
MnO	0.15	0.13	0.15	0.07	0.13	0.15	0.13	0.11	0.14	0.12
K ₂ O	bdl	bdl	bdl	0.01	bdl	bdl	bdl	bdl	bdl	bdl
CaO	55.98	55.93	55.91	55.90	55.89	55.97	55.91	55.89	55.53	55.86
F	1.15	1.2	1.47	1.71	1.69	1.13	1.52	1.69	1.23	1.6
Cl	0.87	0.74	0.43	0.32	0.37	0.83	0.34	0.63	0.94	0.57
S	0.01	0.02	0.02	0.02	0.03	0.02	0.02	0.01	0.02	0.02
Total	97.89	97.92	98.04	97.43	97.51	98.11	98.16	97.58	97.85	97.51
Number of cations on the basis of 13O										
Si	0.02	0.02	0.02	0.00	0.02	0.04	0.05	0.01	0.04	0.02
Ti	0.00	0.00	0.00	0.00	0.00	0.00	0.00	0.00	0.00	0.00
Fe	0.00	0.00	0.00	0.00	0.00	0.00	0.00	0.00	0.00	0.00
Mn	0.04	0.03	0.04	0.02	0.03	0.04	0.03	0.03	0.04	0.03
Mg	0.00	0.00	0.00	0.00	0.00	0.00	0.00	0.00	0.00	0.00
Ca	16.09	16.07	15.92	16.16	16.23	16.02	16.05	16.05	16.08	16.21
Na	0.00	0.00	0.00	0.02	0.00	0.02	0.00	0.00	0.00	0.00
K	0.00	0.00	0.00	0.00	0.00	0.00	0.00	0.00	0.00	0.00
F	0.72	0.75	0.92	1.06	1.04	0.71	0.94	1.05	0.79	0.99
Cl	0.29	0.24	0.14	0.10	0.12	0.28	0.11	0.21	0.31	0.18
S	0.02	0.02	0.01	0.01	0.01	0.01	0.02	0.01	0.01	0.01
OH	1.40	1.39	1.33	1.27	1.27	1.41	1.33	1.26	1.38	1.29

bdl: below the respective EPMA detection limit

*Calculated based on 12 oxygen atoms per formula unit

بحث

پتروژنر و خاستگاه تکتونوماگمایی

(Zhu et al., 2009) گویای ارتباط ژنتیکی آپاتیتها و شکل‌گیری گرانیتوئیدهای I و S است. بر این مبنای، انحلال آپاتیت در مذاب‌های SiO_2 گرانیتی متآلومین تا پرآلومین پایین بوده و با افزایش محتوای SiO_2 کاهش می‌یابد. با توجه به ماهیت متآلومین تا پرآلومین دنباله‌های نفوذی ناحیه مورد بررسی (شکل ۴-B) و رابطه دوتایی P_2O_5 با SiO_2 (Zhang et al., 2016) این روند سازگار با روند گرانیتوئیدهای نوع I است (شکل ۷-D). بر اساس نمودار دوتایی نسبت La/Sm در برابر La/Yb (Cocherie, 1986)، همبستگی مثبتی در پی غنی‌شدگی عنصر La در دنباله‌های نفوذی ناحیه مورد بررسی مشاهده می‌شود که گویای شکل‌گیری گرانیتوئیدها ناشی از فرایند ذوب‌بخشی است (شکل ۷-E). طبق نمودار دوتایی نسبت‌های عناصر کمیاب Th/Yb در برابر Ta/Yb (Pearce, 2008) که در آن سری ماگمایی توده‌های نفوذی و جایگاه تکتونوماگمایی آنها بررسی می‌شود، نمونه‌های سنگی منطقه مورد بررسی با ماهیت کالک‌آلکالن تا شوشونیتی در یک محیط گوشه‌ای نسبتاً غنی‌شده متعلق به جایگاه کمان‌های فعل حاشیه قاره است (شکل ۷-F).

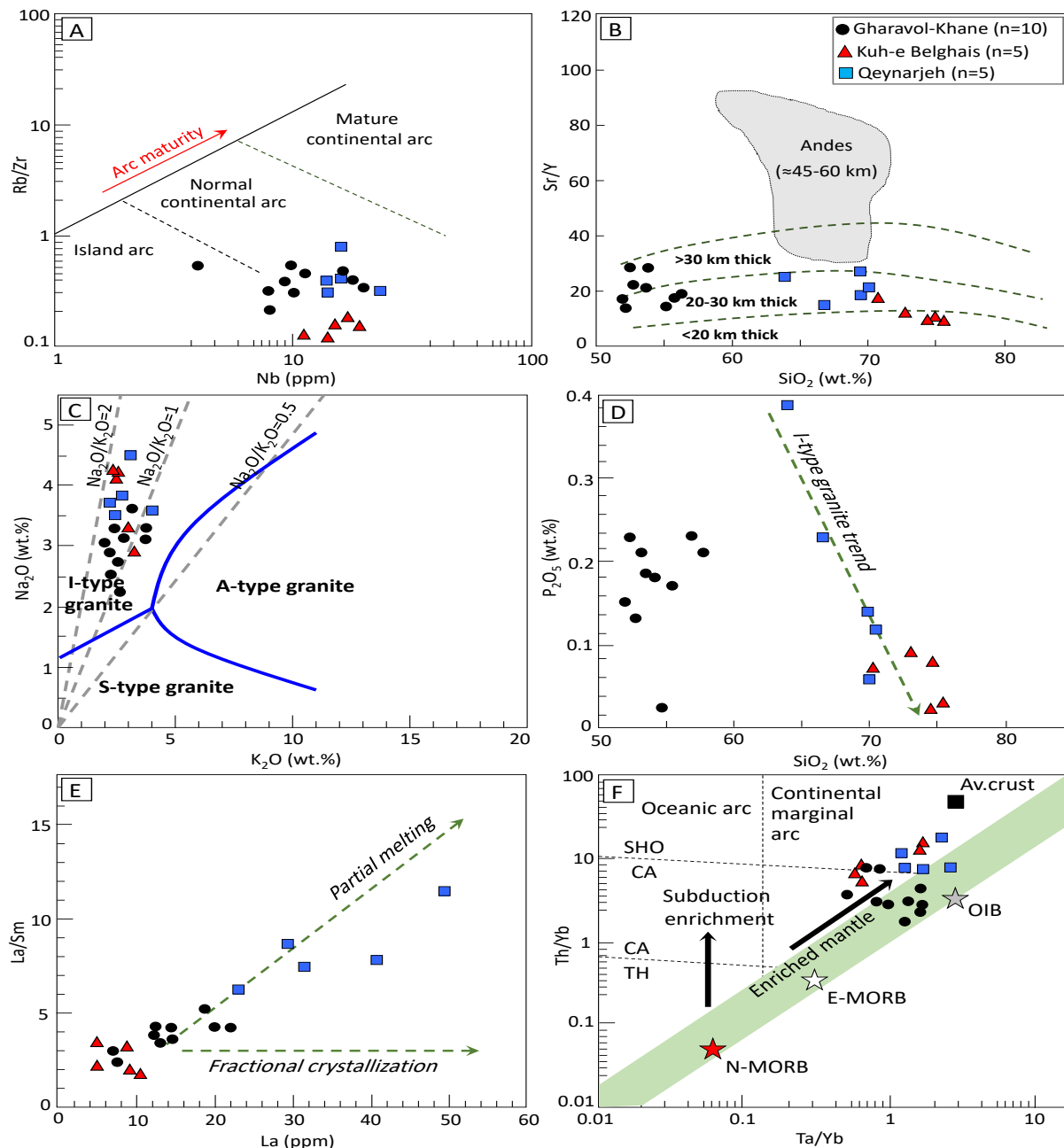
شیمی بلور آپاتیت و پتانسیل کانه‌زایی

آپاتیت با رابطه استوکیومتری $\text{Ca}_5(\text{PO}_4)_3(\text{F}, \text{OH}, \text{Cl})$ ، یک کانی مهم فرعی در سنگ‌های ماگمایی (Belousova et al., 2002; Bruand et al., 2014; Sha and Chappell, 1999; Prowatke and Klemme, 2006; Xiao et al., 2021) نسبتاً بالایی از عناصر Sr , Y , Th و U است (Bruand et al., 2016; Konecke et al., 2017; Li and Costa, 2020). آپاتیت همچنین دارای مقادیر قابل توجهی از عناصر فرار (نظیر F , Cl و S) بوده که عاملی مهم برای بررسی تکوین سامانه‌های گرمابی-ماگمایی است (Parat et al., 2011; Duan and Jiang, 2018; Sun et al., 2019; Duan et al., 2021).

آنچه از بررسی‌های زمین شیمی عناصر اصلی و نمودارهای بهنجارسازی گوشه‌های اولیه مشخص می‌شود، ارتباط دنباله‌های نفوذی ناحیه قینرجه- انگوران با محیط‌های کوه‌زایی و بهنه‌های فرونشاست (شکل‌های ۴ و ۵). طبق بررسی‌ها، غنی‌شدگی LREE و LILE در مقابل تهی شدگی نسبی HFSE و HREE در مقادیر بهنجارشده به کندریت و گوشه‌های از شواهد جایگاه‌های زمین ساختی محیط‌های فرونشاست بوده که این الگوها با نمودارهای عنکبوتی دنباله‌های نفوذی ناحیه قینرجه- انگوران تا حد زیادی سازگار است (شکل ۵). این ویژگی بارز نواحی کوه‌زایی ناشی از فرونشاست بوده که طی پژوهش‌های گستردۀای در شمال‌غرب ایران و به ویژه کمربند Hajalioghli et al., 2011; Jamshidi Badr et al., 2013; Azizi et al., 2021; (Tale Fazel et al., 2023).

طبق نمودار دوتایی نسبت Nb/Zr در برابر Rb/Zr (Brown et al., 1984)، نمونه‌ها در جایگاه کمان قاره‌ای عادی واقع شده‌اند (شکل ۷-A). از آنجایی که پایداری پلازیوکلازها و جفت کانی گارنت- آمفیول تابع عمق جای‌گیری یا تکوین ماگما است (Chiaradia, 2015)، نسبت Sr/Y در زمین شیمی سنگ کل می‌تواند برای تخمین ضخامت پوسته استفاده شود. با استفاده از نمودار دوتایی نسبت Sr/Y در مقابل SiO_2 (Chiaradia, 2015)، کوارتزدیوریت قراول‌خانه در عمق بیش از ۳۰ کیلومتر، گرانوئدیوریت قینرجه بین ۲۰ تا ۳۰ کیلومتر و توده گرانیت پورفیری کوه بلقیس در عمق کمتر از ۲۰ کیلومتر شکل ۷-B). با به کار گیری نسبت $\text{Na}_2\text{O}/\text{K}_2\text{O}$ و رسم آن Collins et al., 1982; در مقابل Na_2O در مقابل K_2O (Zhang et al., 2009) تفکیک هستند. بر اساس این نمودار، کلیه نمونه‌ها با نسبت $\text{Na}_2\text{O}/\text{K}_2\text{O}$ بین ۰/۸ تا ۰/۲ در محدوده گرانیتوئیدهای نوع I جای گرفته‌اند (شکل ۷-C).

همچنین، پژوهش‌های پیشین (Wu et al., 2003; Li et al., 2008;



شکل ۷. نمودارهای تحولات زمین شیمیایی - تکتونوماگمایی در دنباله های نفوذی ناحیه قیرچه-انگوران. A: نمودار دوتایی Rb/Zr در مقابل Nb (Brown et al., 1982; Zhang et al., 2015) B: نمودار دوتایی Sr/Y در مقابل SiO₂ (Chiaradia, 2015) C: نمودار دوتایی Na₂O در مقابل K₂O (Collins et al., 1982; Zhang et al., 2009) برای تفکیک گرانیتoidهای I, A و S, D: نمودار دوتایی P₂O₅ در مقابل SiO₂ (Zhang et al., 2016) E: نمایش رخداد فرایند ذوب بخشی در نمودار دوتایی La/Sm در مقابل La (Coherie, 1986) F: نمودار دوتایی Th/Yb در مقابل Ta/Yb (Pearce, 2008) (TH: Tholeiitic, CA: calc-alkaline, SHO: shoshonitic)

Fig. 7. Geochemical-tectonomagmatic evolutions of intrusive suites in the Qeynarjeh-Angouran district. A: Binary diagram of Rb/Zr versus Nb (Brown et al., 1984), B: Binary diagram of Sr/Y versus SiO₂ (Chiaradia, 2015), C: Binary diagram of Na₂O versus K₂O (Collins et al., 1982; Zhang et al., 2009) to discriminate of I-, A-, and S-type granitoids, D: Binary diagram of SiO₂ versus P₂O₅ (Zhang et al., 2016), E: Partial melting process in the La/Sm versus La binary diagram (Coherie, 1986), and F: Binary diagram of Th/Yb versus Ta/Yb (Pearce, 2008) (TH: Tholeiitic, CA: calc-alkaline, SHO: shoshonitic)

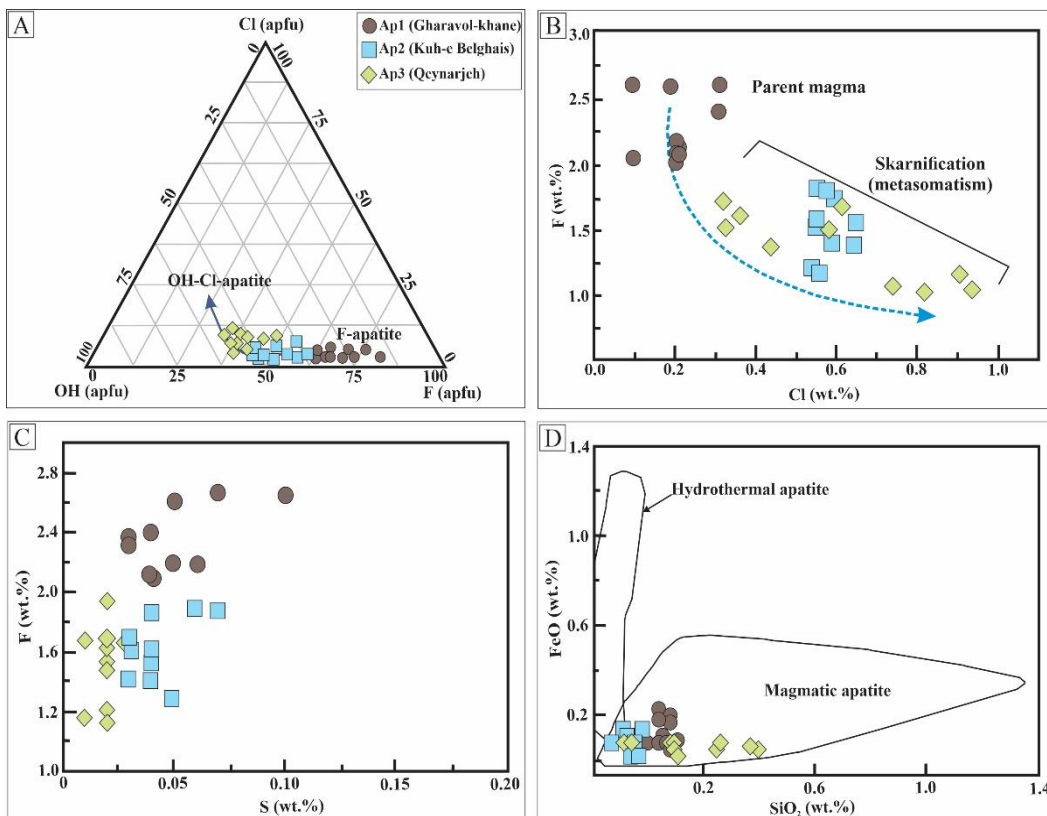
عناصر با ظرفیت بالا ماند REE^{3+} Ca^{2+} جایگزین شده و در نتیجه نسبت Si/S به بالاتر از ۱ (apfu) افزایش می‌یابد. از آنجایی که Si عنصر اصلی در ماقما است، ایزومورف آپاتیت تأثیر محدودی بر محتوای Si دارد. نسبت پایین Si/S نشان‌دهنده محتوای نسبتاً بالای S^{6+} و محیط اکسیدان ماقماست که به تنشست عناصر کانه‌ساز منجر می‌شود (Sun et al., 2023). طبق پژوهش سان و همکاران (Chen et al., 2021) نسبت Si/S یکی از شاخص‌های مطلوب برای تفکیک توده‌های بارور از مولد محسوب می‌شود. بر این مبنای، بیشترین نسبت Si/S (متوسط ۱/۲۶) در ترکیب آپاتیت‌های گرانیت پورفیری کوه بلقیس (Ap2) وجود دارد؛ در حالی که این نسبت در ترکیب آپاتیت‌های کوارتزدیوریت قراول‌خانه (Ap1) و گرانودیوریت قیرچه (Ap3) به ترتیب با متوسط ۰/۲۵ و ۰/۱۹ به دست آمد. بنابراین بر مبنای شواهد شیمی بلور آپاتیت، دنباله‌های نفوذی قراول‌خانه و قیرچه ویژگی‌های یک توده مولد اسکارن را نشان می‌دهند؛ در حالی که توده گرانیت پورفیری کوه بلقیس پتانسیل فلززایی ناچیزی در مقایسه با آنها دارد. این موضوع نتایج زمین شیمی سنگ کل را نیز تأیید می‌کند.

تحولات ماقمایی- فلززایی و مقایسه با توده‌های مولد اسکارن

ذخایر گرمایی مرتبط با دنباله‌های گرانیتوئیدی (نظیر کانسارهای اسکارن و پورفیری)، حاصل وقوع مجموعه‌ای از فرایندها، رویدادها و پالس‌های متوالی سیال حین رخداد یک سامانه ماقمایی یا پس از ماقمایی هستند. محتوای فلزی یک ماقمای گرانیتوئیدی همراه با عواملی چون تبلوربخشی، کمپلکس فلز- لیگاند، سازوکار استقرار توده و تحولات تکتونوماقمایی بر تمرکز فلز و تغییرات محتوای عیار- تنازع یک کانسار گرمایی تأثیر گذار هستند. این اثر امکان مهاجرت فلز به فاز سیال از طریق فرایند کمپلکس سازی فلز- لیگاند را افزایش داده و در نتیجه تمرکز فلزها به تدریج در کانسنگ افزایش می‌یابد. بر این اساس، طبق پژوهش‌های متعدد پیشین (به طور مثال ماینرت (Meinert, 1995) همواره میان ذخایر اسکارن و توده‌های نفوذی متناظر آن تزدیکی زمین شیمیایی معناداری وجود دارد.

طبق نمودار سه‌تایی $\text{Cl}-\text{OH}-\text{F}$ (بر حسب تعداد اتم‌ها در واحد فرمول کانی و احتساب ۱۲ اتم اکسیژن) (جدول ۲)، آپاتیت‌های مورد بررسی در قاعده مثلث و اعضاء انتهایی غنی از F و OH (نوع هیدروکسی-فلوئور آپاتیت) جانمایی شده‌اند (شکل A-۸). بر این اساس، یک روند غنی شدگی در محتوای OH و Ap3 در Ap2 و Ap1 در این نمودار مشاهده می‌شود. بر اساس نمودار دوتایی درصد وزنی F در مقابل Cl ، مشاگرفتن Ap1 به طور مستقیم از ماقمای نخستین (وجود بلورهای خوش‌وجه و سوزنی Ap1)، شکل A-۶ (B، C و D) موجب شده تا تمرکز فلور (متوسط ۰/۳۹ wt.%) در این نسل از آپاتیت‌ها مقدار اولیه خود را حفظ کرده و نسبت به بلورهای Ap2 و Ap3 (وجود بلورهای بی‌وجه با بافت باقی‌مانده یا Relict، شکل F-۶ و H) از محتوای فلور بالاتری برخوردار باشند (شکل A-۸). علاوه بر این، تغییرات وسیع محتوای کلر در آپاتیت‌های کوه بلقیس (Ap2) احتمالاً به دلیل تبدلات سیال- سنگ وسیع آپاتیت توده نفوذی با سیال گرمایی اسکارن‌ساز صورت گرفته که بافت خورده شده (شکل F-۶) این آپاتیت‌ها نیز بیانگر این موضوع است. در نمودار دوتایی درصدوزنی F در مقابل S ، همبستگی مستقیم بین آپاتیت‌های مشاگرفته از ماقمای (شکل A-۸). بر اساس این نمودار، آپاتیت‌های مشاگرفته از ماقمای (Ap1) به تدریج در اثر پدیده متابوماتیزم و فرایند اسکارنی شدن، گوگرد وارد ترکیب کانی‌های نظیر پیریت و پیروتیت شده و محتوای گوگرد در Ap2 و Ap3 کاهش یافته است. چنان‌که مشاهده می‌شود، Ap3 به دلیل تشکیل در گرانودیوریت مسبب اسکارن آهن قیرچه (شکل ۲)، از پایین‌ترین محتوای گوگرد (کمتر از ۰/۰۴ wt.%) برخوردار است (جدول ۲ و شکل A-۸). بر اساس نمودار در مقابل SiO_2 ، آپاتیت‌های ناحیه قیرچه- انگوران منشاً ماقمای نشان می‌دهند (شکل A-۸) و از این نظر می‌تواند برای وضعیت باروری یا پتانسیل فلززایی توده‌های نفوذی مورد استفاده قرار گیرد (Ayers and Watson, 1991).

کاتیون‌های P^{5+} ، Si^{4+} و S^{6+} اغلب یک ایزومورف پیوسته در آپاتیت تشکیل می‌دهند. ترکیب $[\text{SiO}_4]^{4-}$ عدم تعادل ایجادشده توسط جایگزینی $[\text{PO}_4]^{3-}$ $[\text{SO}_4]^{2-}$ توسط برای جبران عدم تعادل و تولید بار اضافی منفی کافی نباشد،



شکل ۸. نمودارهای غلظت عناصر کمیاب از انواع آپاتیت در دنباله‌های نفوذی ناحیه قیرچه-انگوران. A: نمودار سمتایی F-Cl-OH (Piccoli and Candela, 1994)، B: نمودار دوتایی غلظت F در مقابل Cl (Chen et al., 2023)، C: نمودار دوتایی غلظت F در مقابل S در مقابل Cl (Ayers and Watson, 1991) و D: نمودار دوتایی غلظت FeO در مقابل SiO₂ در مقابل Cl (Ayers and Watson, 1991)

Fig. 8. Diagram of trace elements concentration in various apatites at intrusive suites of the Qeynarjeh-Angouran district. A: Ternary diagram of F-Cl-OH (Piccoli and Candela, 1994), B: Binary plot of F versus Cl concentration (Chen et al., 2023), C: Binary plot of F versus S concentration (Ayers and Watson, 1991), and D: Binary plot of FeO versus SiO₂ (Ayers and Watson, 1991)

کوارتزدیوریت قراول خلنگ در مرز توده‌های کلندار و عقیم جای گرفتند (شکل ۹). در نمودار دوتایی Y در مقابل MnO (Baldwin and Pearce, 1982)، گرانیت‌هایی به سه حالت مولد، نیمه مولد و نلبادرور رده‌بندی می‌شوند. بر این مبنای، توده گرانودیوریتی قیرچه در بخش گرانیت‌های مولد و کوارتزدیوریت قراول خانه اغلب ماهیت نلبادرور نشان دادند (شکل ۹). دلیل پراکندگی بالای نمونه‌ها در این نمودار احتمالاً تحرک منگنز و خروج آن از ترکیب توده‌های سنگی است؛ چراکه عنصر Y به دلیل تحرک پایین از پراکندگی پایینی برخوردار است. برای اطمینان از وضعیت پتانسیل فلززایی در دنباله‌های نفوذی

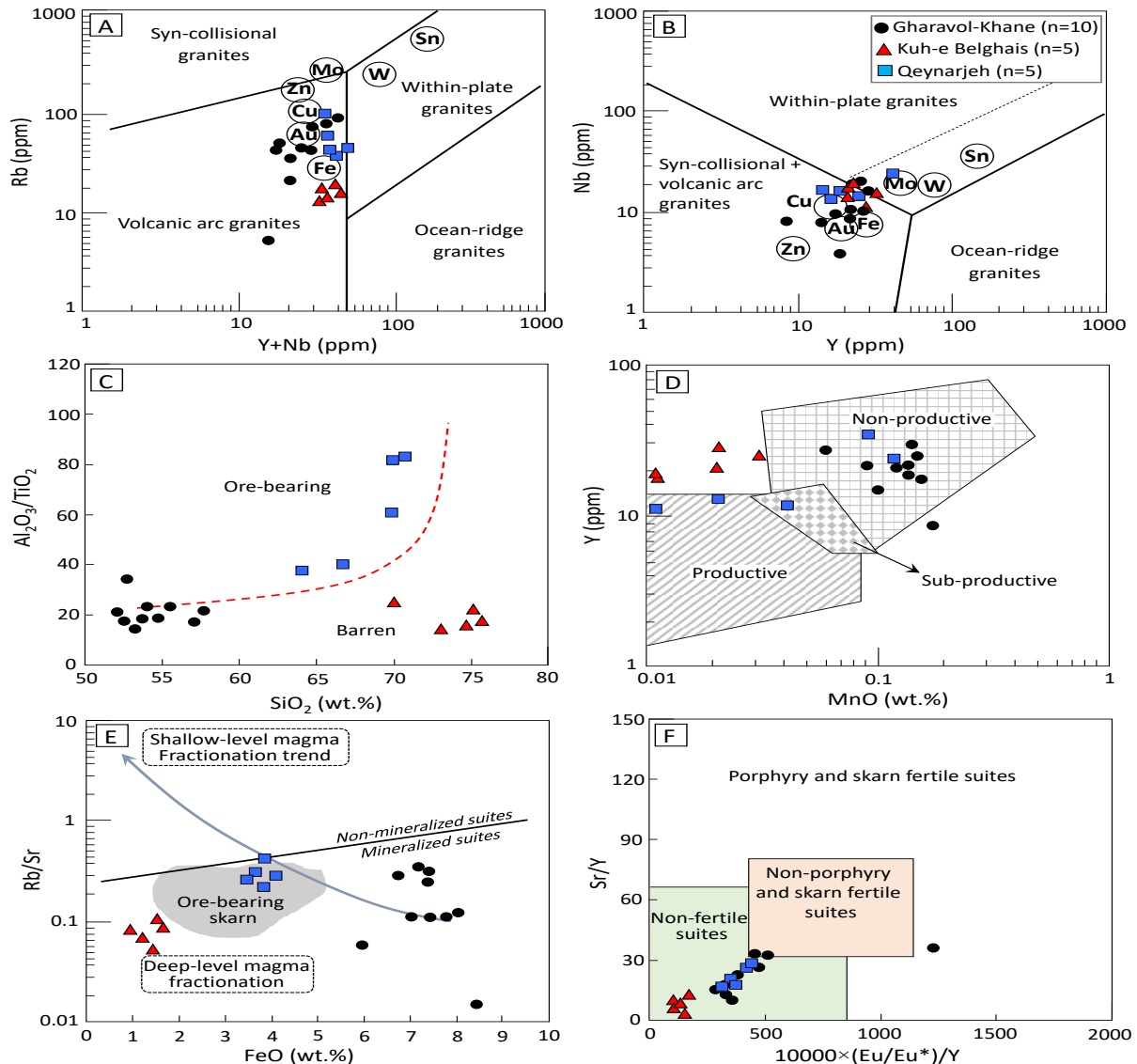
پیرس و همکاران (Pearce et al., 1984)، گرانیت‌ها را به انواع گرانیت‌های گسترش پوسته اقیانوسی، هم‌مان با برخورد قاره‌ای، درون صفحه‌ای و کمریندهای آتش‌فشانی محیط فرورانش تفکیک کردند. با استفاده از این تقسیم‌بندی، دنباله‌های نفوذی محدوده مورد بررسی در موقعیت تکتونوماگماتیک مربندهای آتش‌فشانی پهنه فرورانش واقع شده‌اند (شکل ۹- A و B). با استفاده از نمودار دوتایی نسبت Al₂O₃/TiO₂ در مقابل SiO₂ (Liu and Peng, 2003)، برای تمایز بین گرانیت‌های کانه‌دار از عقیم، توده گرانودیوریتی قیرچه در بخش کانه‌دار، واحد گرانیت پورفیری کوه بلقیس ماهیت عقیم و

۱۱۷/۷ و ۶/۴) و بیشترین آن در کوارتزدیوریت قراول خانه (به ترتیب متوسط ۱۶/۸ و ۴۴۶/۱ ثبت شده است. توده گرانودیوریتی قیزرجه نیز با نسبت Sr/Y (متوسط ۱۲/۰) و نسبت Y/(Eu/Eu*) $\times 10000$ (متوسط ۳۴۴/۶۱) از این نظر بین توده‌های قبلی قرار می‌گیرد. بر این مبنای، کلیه توده‌های مورد بررسی شواهد دنباله‌های نفوذی غیرمولد اسکارن-پورفیری را داشته (شکل ۹-F)؛ هرچند توده‌های کوارتزدیوریت قراول خانه و قیزرجه پتانسیل کانه‌زایی بیشتری نشان می‌دهند.

یکی از روش‌های مفید برای دستیابی به ماهیت زمین شیمیایی-کانی‌سازی توده‌های گرانیتوئیدی کمرندهای فلززایی، استفاده از الگوی بهنجارسازی عناصر کمیاب در توده‌های مولد اسکارن و مقایسه آن با روند زمین شیمیایی عناصر در نمونه‌های مورد بررسی است. به این منظور، بر مبنای زمین شیمی سنگ کل از الگوی عناصر کمیاب (شامل عناصر Th, Zr, Ce, Nb, Ti و Y) بهنجارشده با ترکیب بازالت‌های پشتۀ میان اقیانوسی عادی (N-MORB)، بر مبنای داده‌های پیرس (Pearce, 1996)، برای مقایسه دنباله‌های نفوذی مورد بررسی با الگوی گرانیتوئیدهای مولد ذخایر اسکارن آهن و مس، برگرفته از ماینت (Meinert, 1995) استفاده شده است (شکل ۱۰). بر این اساس، در کلیه توده‌های نفوذی مورد بررسی یک ناهنجاری منفی در عنصر Nb نسبت به عناصر Ce و همچنین، ناهنجاری منفی در عنصر Ti نسبت به عناصر Zr و Y مشاهده شد (شکل ۱۰). طبق این نمودارها، توده کوارتزدیوریتی قراول خانه و توده گرانودیوریتی قیزرجه بیشترین شباهت را با الگوی بهنجارشده گرانیتوئیدهای مولد ذخایر اسکارن آهن نشان می‌دهند (شکل ۱۰-A و C). در مقابل، واحد گرانیت پورفیری زمین شیمیایی گرانیتوئیدهای مولد ذخایر اسکارن مس است (شکل ۱۰-D). با این وجود، نمودارهای زمین شیمی سنگ کل و شیمی کانی آپاتیت نشان‌دهنده ناباروری آهن در توده گرانیت پورفیری منطقه کوه بلقیس است که استفاده از شواهد نسبت‌های ایزوتوپی $^{87}\text{Sr}/^{86}\text{Sr}$ و $^{146}\text{Nd}/^{144}\text{Nd}$ کل برای اثبات این موضوع پیشنهاد می‌شود.

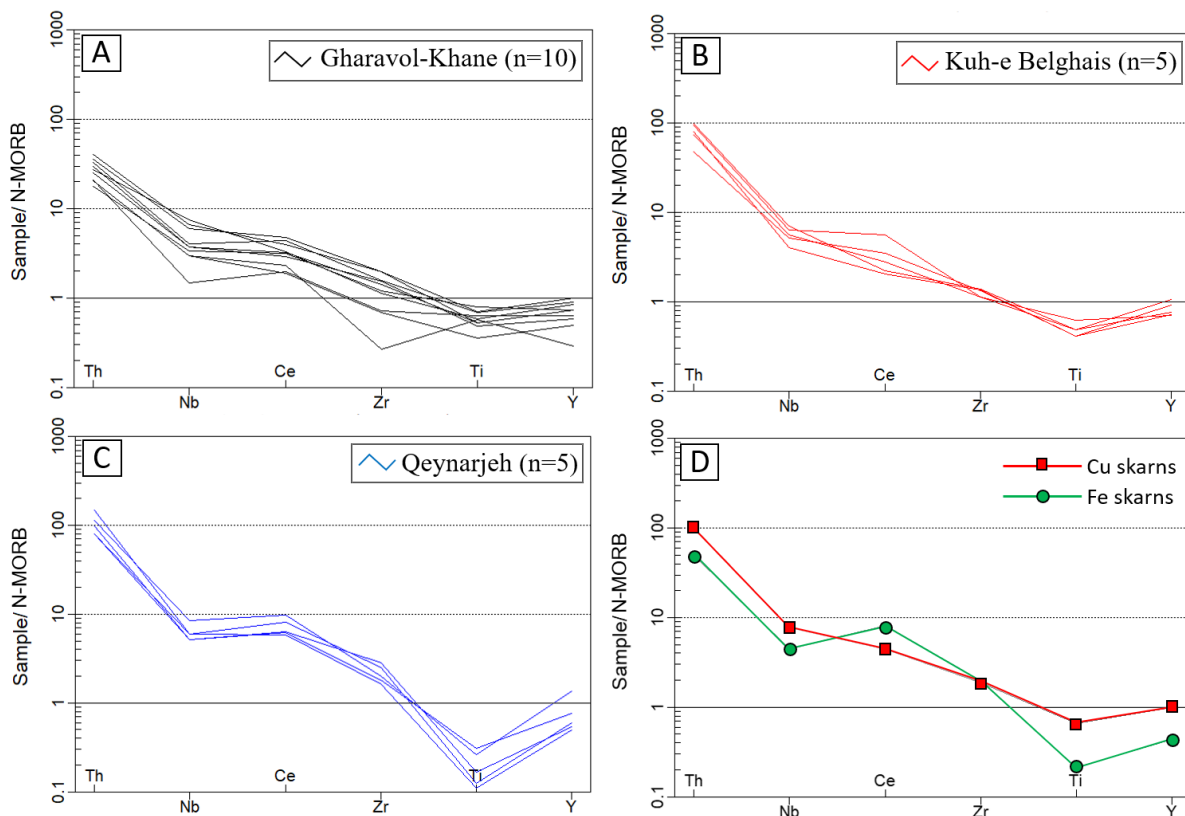
منطقه مورد بررسی، از نسبت‌های عنصری که کمترین تحرک شیمیایی در محیط را دارند (نظیر عناصر کمیاب و کمیاب خاکی) استفاده شده که در ادامه اشاره خواهد شد.

یکی از کنترل‌کننده‌های مهم فلززایی در توده‌های ماگمایی، عمق جای گیری و فرایندهای تفریق ماگمایی در سطوح کم عمق یا عمیق پوسته است (Chelle-Michou and Chiaradia, 2017). تحول دنباله‌های نفوذی عقیم اغلب تحت تأثیر فرایندهای AFC در عمق کم صورت می‌گیرد (Nevolko et al., 2022). در نمودار نسبت Rb/Sr در مقابل FeO (Blevin and Chappell, 1992) دنباله‌های نفوذی با مقادیر Rb/Sr نشان می‌دهند (شکل ۹-E). در مقابل، دنباله‌های نفوذی گرانیتی با تفریق متوسط تا زیاد در محیط‌های کم عمق همبستگی منفی قوی میان نسبت Rb/Sr و محتوای FeO دارند. آستانه بحرانی مقدار سنگ کل نسبت Rb/Sr کمتر از ۰/۴ با محتوای FeO حدود ۴ درصد وزنی، مرز بین دنباله‌های نفوذی اسکارن-پورفیری کانه‌ساز و غیرکانه‌ساز را ثابت می‌کند (Svetlitskaya and Nevolko, 2022) (شکل ۹-E). این تفاوت‌ها اهمیت تفریق ماگمایی همراه با محتوای آب ماگما را در ذخایر گرمایی مرتبط با توده‌های نفوذی بر جسته می‌کند. بر اساس این نمودار، دنباله‌های نفوذی مورد بررسی در محدوده توده‌های تفریق‌یافته دارای پتانسیل کانی‌سازی قرار می‌گیرند که از این میان، توده گرانودیوریتی قیزرجه در محدوده اسکارن‌های کانه‌دار قرار می‌گیرد (شکل ۹-E). مقادیر سنگ کل نسبت‌های Sr/Y و $Y/(Eu/Eu^*)\times 10000$ (شکل ۹-F)، به عنوان یک رهیافت زمین شیمیایی-اکتشافی مفید برای تعیین محتوای آب و ارزیابی پتانسیل Chiaradia et al., 2012؛ فلززایی ذخایر ماگمایی محسوب می‌شود (Richards, 2011; Nevolko et al., 2022). بسیاری از پژوهش‌ها، اهمیت فرایندهای سنگ‌شناسی را در شکل گیری ماگماهای آبدار، اکسیله، غنی از S و فلز و نسبت بالای Y/Sr را در سامانه‌های اسکارن و پورفیری بر جسته کرده‌اند (Chelle-Michou and Chiaradia, 2017). بر این اساس، نسبت‌های Sr/Y و $Y/(Eu/Eu^*)\times 10000$ با کمترین مقدار در توده گرانیت پورفیری کوه بلقیس (به ترتیب متوسط



شکل ۹. نمودارهای تحولات زمین شیمیایی و ارزیابی پتانسیل فلززایی در دنباله‌های نفوذی ناحیه قیرچه-انگوران. A: نمودار دوتایی Rb در مقابل Y+Nb (Pearce et al., 1984) B: نمودار دوتایی Nb در مقابل Y (Pearce et al., 1984) C: نمودار دوتایی نسبت $\text{Al}_2\text{O}_3/\text{TiO}_2$ در مقابل SiO_2 (Liu and Peng, 2003) D: تعیین مولد تا غیرمولد بودن دنباله‌های نفوذی منطقه در نمودار دوتایی Y در مقابل Rb/Sr (Baldwin and Pearce, 1982) E: نمودار دوتایی MnO در مقابل MnO (Baldwin and Pearce, 1982) F: بررسی شاخص زمین شیمی سنگ کل برای تعیین باروری یا عقیم بودن دنباله‌های نفوذی توسط نمودار دوتایی Sr/Y در مقابل $10000 \times (\text{Eu}/\text{Eu}^*)/\text{Y}$ (Svetlitskaya and Nevolko, 2022)

Fig. 9. Diagrams of geochemical evolutions and evaluation of metallogenetic potential at intrusive suites of the Qeynarjeh-Angouran district. A: Binary diagram of Rb versus Y+Nb (Pearce et al., 1984), B: Binary diagram of Nb versus Y (Pearce et al., 1984), C: Binary plot of $\text{Al}_2\text{O}_3/\text{TiO}_2$ versus SiO_2 (Liu and Peng, 2003), D: Determination of productive to non-productive of intrusive suites in binary plot of Y versus MnO (Baldwin and Pearce, 1982), E: Binary diagram of Rb/Sr versus FeO (Blevin and Chappell, 1992) highlighting the relationships between the degree of fractionation and the porphyry-skarn productivity of the granitoids (Svetlitskaya and Nevolko, 2022), and F: Whole-rock geochemical indicators of magma fertility by binary plot of Sr/Y versus $10000 \times (\text{Eu}/\text{Eu}^*)/\text{Y}$ (Svetlitskaya and Nevolko, 2022)



شکل ۱۰. نمودار عنکبوتی عناصر کمیاب در دنباله‌های نفوذی ناحیه قیزجه-انگوران و مقایسه آن با گرانیتوئیدهای مولد ذخایر اسکارن آهن و مس در دنیا. A، B و C: الگوی عناصر کمیاب بهنجارشده با بازالت‌های پشته میان اقیانوسی عادی (N-MORB)، بر مبنای داده‌های پیرس (Pearce, 1996) و (Pearce, 1996) و (Meinert, 1995) و (Meinert, 1995)

Fig. 10. Spidergram of trace elements at intrusive suites of the Qeynarjeh-Angouran district and comparing it with the granitoids causative iron and copper skarn deposits in the world. A, B, C: Trace elements pattern of normal mid-ocean ridge basalts (N-MORB), data after Pearce (Pearce, 1996), and D: Trace elements pattern of granitoids causative iron and copper skarn deposits, data from Meinert (Meinert, 1995)

بالای LILE و کاهش اتحال پذیری HFSE در سیالات آبگین مرتبط با مذاب سیلیکاته رخداده است. کانی کمیاب آپاتیت با منشأ ماقمایی در دنباله‌های نفوذی ناحیه قیزجه-انگوران شناسایی شده که همگی از نوع هیدروکسی-فلوئور آپاتیت هستند. بر این اساس، آپاتیت‌های قراول خانه با تمرکز بالای فلوئور به طور مستقیم از ماقمای نخستین و آپاتیت‌های کوه بلقیس با تمرکز بالای کلر در نتیجه تبادلات وسیع سیال-سنگ میان توده گرانیت پورفیری و سیال گرمابی شکل گرفته‌اند. طبق الگوی عناصر کمیاب (شامل عناصر Th, Zr, Ce, Nb, Ti و Y) بهنجارشده با ترکیب بازالت‌های پشته میان اقیانوسی عادی دنباله‌های

نتیجه‌گیری

دباله‌های نفوذی ناحیه قیزجه-انگوران با سن تریاس میانی-ژوراسیک بالایی مشکل از سه واحد کوارتزدیوریت قراول خانه، گرانیت پورفیری کوه بلقیس و گرانیت پورفیری قیزجه در سنگ بستر دگ‌گونی نوپر و تروزوئیک-پالئوزوئیک (سازندهای کهر و جانگوقاران) نفوذ کرده‌اند. این گرانیتوئیدها با ماهیت کالک‌آلکالن و متاآلومین در یک محیط فروراش متناظر با جایگاه گرانیت‌های اکسیدان نوع I شکل گرفته‌اند. در ترکیب این توده‌ها یک غنی شدگی نسبی در LILE نسبت به HFSE مشاهده شده که طی ذوب بخشی به دلیل پتانسیل یونی

نفوذی قراول خانه و قیرچه بیشترین شباهت را با الگوی بهنجار شده گرانیتوئیدهای مولد ذخایر اسکارن آهن دارند. شواهد این پژوهش نشان می‌دهد طبق نسبت‌های Y / Sr و $(\text{Eu} / \text{Eu}^*) \times 10000$ سنگ‌کل، کوارتزدیوریت قراول خانه و گرانودیوریت قیرچه پتانسیل کانه‌زایی آهن بالاتری نسبت به توده گرانیت پورفیری کوه بلقیس نشان می‌دهند. استفاده از الگوی پتروژنر-فلزایی در گرانیتوئیدها روش مفیدی برای شناسایی محیط‌های اسکارنی و پیشبرد اهداف اکتشافی در سایر نواحی مشابه خواهد داشت.

تعارض منافع

هیچ‌گونه تعارض منافعی توسط نویسنده‌گان بیان نشده است.

قدردانی

نویسنده‌گان از کمک‌های مالی دانشگاه بوعلی سینا و نظرات مفید داوران محترم نشریه زمین‌شناسی اقتصادی کمال تشکر را دارند.

1. Intrusive suites
2. Electron Micro probe Analyzer (EPMA)
3. German Research Centre for Geosciences (GFZ)
4. Total Rare Earth Elements (Σ REE)
5. Light Rare Earth Elements to Heavy Rare Earth Elements ratio (LREE/HREE)
6. Large-Ion Lithophile Elements (LILEs)
7. High Field Strength Elements (HFSEs)
8. Partial melting
9. Atoms per formula unit (apfu)
10. Normal Mid-Ocean Ridge Basalts (NMORB)

References

- Aghanabati, A., 2004. Geology of Iran. Geological Survey of Iran, Tehran, 586 pp. (in Persian)
- Aliyari, F., Demir, Y. and Bouzari, F., 2020. Geology, geochemistry, fluid inclusion and genesis of the Guijeh Qaleh IOA-type iron ore deposit, north of Takab district, Northwestern Iran. *Ore Geology Reviews*, 127: 103835.
<https://doi.org/10.1016/j.oregeorev.2020.103835>
- Ayers, J.C. and Watson, E.B., 1991. Apatite chemistry of Late Triassic granitic rocks from Yidun Terrane: Implications for petrogenesis and mineralization. *Mineralogy and Petrology*, 117: 745–759.
<https://doi.org/10.1007/s00710-023-00836-z>
- Azizi, H., Daneshvar, N., Mohammadi, A., Asahara, Y., Whattam, S.A., Tsuboi, M. and Minami, M., 2021. Early Miocene Post-collision Andesite in the Takab Area, NW Iran. *Journal of Petrology*, 62(7).
<https://doi.org/10.1093/petrology/egab022>
- Babakhani, A.R. and Ghalamghash, J., 2001. Geological map of Takht-e Soleiman, scale 1:100000. Geological survey of Iran.
- Baldwin, J.A. and Pearce, J.A., 1982. Discrimination of productive and non-productive porphyritic intrusions in the Chilean Andes. *Economic Geology*, 77(3): 664–674.
<https://doi.org/10.2113/gsecongeo.77.3.664>
- Bellieni, G., Visentin, E.J. and Zanettin, B., 1996. Use of chemical TAS diagram (total alkali silica) for classification of plutonic rocks. IUGS Subcommission on the Systematics of Igneous Rocks, UK, Report 157, 35 pp. Retrieved August 21, 2023 from
<http://hdl.handle.net/11577/180716>
- Belousova, E.A., Griffin, W.L., O'Reilly, S.Y. and Fisher, N.I., 2002. Apatite as an indicator mineral for mineral exploration: Trace-element compositions and their relationship to host rock type. *Journal of Geochemical Exploration*, 76(1): 45–69.
[https://doi.org/10.1016/S0375-6742\(02\)00204-2](https://doi.org/10.1016/S0375-6742(02)00204-2)
- Blevin, P.L. and Chappell, B.W., 1992. The role of magma sources, oxidation states and fractionation in determining the granite metallogeny of eastern Australia. *Earth and Environmental Science Transactions of The Royal Society of Edinburgh*, 83 (1–2): 305–316.
<https://doi.org/10.1017/S0263593300007987>
- Boynton, W.V., 1984. Cosmochemistry of the Rare Earth Elements: Meteorite Studies. Elsevier, 2: 63–114.
<https://doi.org/10.1016/B978-0-444-42148-7.50008-3>
- Brown, G.C., Thorpe, R.S. and Webb, P.C., 1984. The geochemical characteristics of granitoids in contrasting arcs and comments on magma sources. *Journal of the Geological Society*, 141(3): 413–426.
<https://doi.org/10.1144/gsjgs.141.3.0413>
- Bruand, E., Storey, C. and Fowler, M., 2014. Accessory mineral chemistry of high Ba–Sr granites from Northern Scotland: 18 C. Li AND J. YAN Constraints on petrogenesis and records of whole-rock signature. *Journal of Petrology*, 55(8): 1619–1651.
<https://doi.org/10.1093/petrology/egu037>
- Bruand, E., Storey, C. and Fowler, M., 2016. An apatite for progress: inclusions in zircon and titanite constrain petrogenesis and provenance. *Geology*, 44(2): 91–94.
<https://doi.org/10.1130/G37301.1>
- Chappell, B.W. and White, A.J.R., 2001. Two contrasting granite types: 25 years later. *Australian Journal of Earth Sciences*, 48(4): 489–500.
<https://doi.org/10.1046/j.1440-0952.2001.00882.x>
- Chelle-Michou, C. and Chiaradia, M., 2017. Amphibole and apatite insights into the evolution and mass balance of Cl and S in magmas associated with porphyry copper deposits. *Contrib Mineral Petrol*, 172(11–12): 105. <https://doi.org/10.1007/s00410-017-1417-2>
- Chen, Y.H., Lan, T.G., Gao, W., Shu, L., Tang, Y.W. and Hu, H.L., 2023. In-situ texture and geochemistry of apatite from the Jinling and Zhangjiawa iron skarn deposits, eastern North China Craton: Implications for ore-forming processes and formation of high-grade ores. *Ore Geology Reviews*, 158: 105483.
<https://doi.org/10.1016/j.oregeorev.2023.105483>
- Chiaradia, M., 2015. Crustal thickness control on Sr/Y signatures of recent arc magmas: an earth scale perspective. *Scientific Reports*, 5, pp. 685.
<https://doi.org/10.1038/srep08115>
- Chiaradia, M., Ulianov, A., Kouzmanov, K. and Beate, B., 2012. Why large porphyry Cu deposits like high Sr/Y magmas?. *Scientific Reports* 2, pp. 685.
<https://doi.org/10.1038/srep00685>
- Cline, J. and Bodnar, R., 1991. Can economic porphyry mineralization be generated by a typical calc-alkaline melt? *Journal of Geophysical Research*, 96(B5): 8113–8126. <https://doi.org/10.1029/91JB00053>
- Cocherie, A., 1986. Systematic use of trace element distribution patterns in log-log diagrams for plutonic suites. *Geochimica et Cosmochimica Acta*, 50(11): 2517–2522.
[https://doi.org/10.1016/0016-7037\(86\)90034-7](https://doi.org/10.1016/0016-7037(86)90034-7)
- Collins, W.J., Beams, S.D. and White, A.J.R., 1982. Nature and origin of A-type granites with particular

- reference to southeastern Australia. Contributions to Mineralogy and Petrology, 80: 189–200.
<https://doi.org/10.1007/BF00374895>
- Duan, D.F. and Jiang, S.Y., 2018. Using apatite to discriminate synchronous ore-associated and barren granitoid rocks: a case study from the Edong metallogenic district, South China. *Lithos*, 310–311: 369–380.
<https://doi.org/10.1016/j.lithos.2018.04.022>
- Duan, D.F., Jiang, S.Y., Tang, Y.J., Wu, Y., Zhou, B. and Zhu, J., 2021. Chlorine and sulfur evolution in magmatic rocks: a record from amphibole and apatite in the Tonglushan Cu–Fe (Au) skarn deposit in Hubei Province, South China. *Ore Geology Reviews*, 137: 104312.
<https://doi.org/10.1016/j.oregeorev.2021.104312>
- Fallah Karimi, 2013. Mineralogy and geochemistry of Qeynarjeh iron index (NE of Takab, West-Azarbaidjan province). M.Sc. Thesis, Urmia University, Urmia, Iran, 133 pp. (in Persian with English abstract)
- Groves, D.I., Santosh, M., Müller, D., Zhang, L., Deng, J., Yang, L.-Q. and Wang, Q.-F., 2022. Mineral systems: Their advantages in terms of developing holistic genetic models and for target generation in global mineral exploration. *Geosystems and Geoenvironment*, 1(1): 100001.
<https://doi.org/10.1016/j.geogeo.2021.09.001>
- Hafez, M., Abedini, A., Aliyari, F. and Calagari, A.A., 2019. Mineral chemistry of magnetite and fluid inclusions studies in the Kuh-Baba iron deposit, south of Hashtroud. NW Iran. *Jornal of Crystallography and Mineralogy*, 27(4): 755–766. (in Persian with English abstract)
<https://doi.org/10.29252/ijcm.27.4.755>
- Hajialioghli, R., Moazzen, M., Jahangiri, A., Oberhänsli, R., Mocek, B. and Altenberger, U.W.E., 2011. Petrogenesis and tectonic evolution of metaluminous sub-alkaline granitoids from the Takab Complex, NW Iran. *Geological Magazine*, 148(2): 250–268.
<https://doi.org/10.1017/S0016756810000683>
- Honarmand, M., Wenjiao, X., Nabatian, G., Blades, M.L., dos Santos, M.C., Collins, A.S. and Ao, S., 2018. Zircon U-Pb-Hf isotopes, bulk-rock geochemistry and Sr-Nd-Pb isotopes from late Neoproterozoic basement in the Mahneshan area, NW Iran: Implications for Ediacaran active continental margin along the northern Gondwana and constraints on the late Oligocene crustal anatexis. *Gondwana Research*, 57: 48–76.
<https://doi.org/10.1016/j.gr.2017.12.009>
- Irvine, T.N.J. and Baragar, W.R.A., 1971. A guide to the chemical classification of the common volcanic rocks. *Canadian journal of earth sciences*, 8(5): 523–548.
<https://doi.org/10.1139/e71-055>
- Jamshidi Badr, M., Collins, A.S., Masoudi, F., Cox, G. and Mohajel, M., 2013. The U–Pb age, geochemistry and tectonic significance of granitoids in the Soursat Complex, Northwest Iran. *Turkish Journal of Earth Sciences*, 22(1): 1–31.
<https://doi.org/10.3906/yer-1001-37>
- Karimpour, M.H., Shirdashtzadeh, N. and Sadeghi, M., 2021. Granitoids of Sanandaj-Sirjan Zone that are concurrent with Cimmerian Orogeny (178–160 Ma) belong to ilmenite series (S-type): investigation of reason for lacking the porphyry tin mineralization. *Jornal of Economic Geology*, 13(1): 1–28 (in Persian with English abstract)
<https://doi.org/10.22067/econg.v13i1.1011>
- Konecke, B.A., Fiege, A., Simon, A.C., Parat, F. and Stechern, A., 2017. Coverability of S⁶⁺, S⁴⁺, and S²⁻ in apatite as a function of oxidation state: implications for a new oxybarometer. *American Mineralogist*, 102(3): 548–557.
<https://doi.org/10.22067/econg.v13i1.1011>
- Li, W.R. and Costa, F., 2020. A thermodynamic model for F–Cl–OH partitioning between silicate melts and apatite including non-ideal mixing with application to constraining melt volatile budgets. *Geochimica et Cosmochimica Acta*, 269: 203–222.
<https://doi.org/10.1016/j.gca.2019.10.035>
- Li, J.W., Zhao, X.F., Zhou, M.F., Vasconcelos, P., Ma, C.Q., Deng, X.D., Souza, Z.S.D., Zhao, Y.X. and Wu, G., 2008. Origin of the Tongshankou porphyry-skarn Cu–Mo deposit, eastern Yangtze craton, Eastern China: geochronological, geochemical, and Sr–Nd–Hf isotopic constraints. *Mineralium Deposita*, 43(3): 315–336.
<https://doi.org/10.1007/s00126-007-0161-3>
- Liu, Y.S., Hu, Z.C., Gao, S., Günther, D., Xu, J., Gao, C.G. and Chen, H., 2008. In situ analysis of major and trace elements of anhydrous minerals by LA-ICP-MS without applying an internal standard. *Chemical Geology*, 257(1–2): 34–43.
<https://doi.org/10.1016/j.chemgeo.2008.08.004>
- Liu, Y. and Peng, M.S., 2003. Advances in the researches on structural substitution of apatite. *Acta Petrologica et Mineralogica*, 22(4): 413–415. (in Chinese with English abstract) Retrieved August 21, 2023 from <https://www.yskw.ac.cn/yskwxzz/article/pdf/20030478>

- Maanijou, M. and Salemi, R., 2013. Mineralogy, chemistry of magnetite and genesis of Korkora-1 iron deposit, east of Takab, NW Iran. *Jornal of Economic Geology*, 6(2): 355–374. (in Persian with English abstract)
<https://doi.org/10.22067/econg.v6i2.22650>
- Mao, M., Rukhlov, A.S., Rowins, S.M., Spence, J. and Coogan, L.A., 2016. Apatite Trace Element Compositions: A Robust New Tool for Mineral Exploration. *Economic Geology*, 111(5): 1187–1222.
<https://doi.org/10.2113/econgeo.111.5.1187>
- Meinert, L.D., 1995, Compositional variation of igneous rocks associated with skarn deposits-Chemical evidence for a genetic connection between petrogenesis and mineralization. In: J.F.H.Thompson (Editor), *Magmas, fluids, and ore deposits*. Mineral Association of Canada Short Course Series, 23: 401–418. Retrieved August 21, 2023 from
<https://www.researchgate.net/publication/262451126-Meinert-LD-1995>
- Miller, J.S. and Wooden, J.L., 2004. Residence, resorption and recycling of zircons in Devils Kitchen Rhyolite, Coso volcanic field. California. *Journal of Petrology*, 45(11): 2155–2170.
<https://doi.org/10.1093/petrology/egh051>
- Nevolko, P.A., Svetlitskaya, T.V., Nguyen, T.H., Pham, T.D., Fominykh, P.A., Tran, T.H., Tran, T.A. and Shelepaev, R.A., 2022. Genesis of the Thien Ke tungsten deposit, Northeast Vietnam: Evidence from mineral composition, fluid inclusions, S-O isotope systematics and U-Pb zircon ages. *Ore Geology Reviews*, 143: 104791.
<https://doi.org/10.1016/j.oregeorev.2022.104791>
- Nouri, F., Mokhtari, M.A.A., Izadyar, J. and Kouhestani, H., 2021. Geochemistry and petrogenesis of the Alamkandi granitoid body and Fe skarn (west of Mahneshan, the Zanjan province). *Journal of Economic Geology*; 13(3): 507–536.
<https://doi.org/10.22067/econg.v13i3.86285>
- Parat, F., Holtz, F. and Streck, M.J., 2011. Sulfur-bearing magmatic accessory minerals. *Reviews in Mineralogy and Geochemistry*, 73(1): 285–314. (in Persian with English abstract)
<https://doi.org/10.2138/rmg.2011.73.10>
- Pearce, J., 1996. A user's guide to basalt discrimination diagrams, *Trace Element Geochemistry of Volcanic Rocks: Applications for Massive Sulphide Exploration*. Geological Association of Canada, 12: 79–113. Retrieved August 21, 2023 from
https://www.researchgate.net/publication/238170061_A_User%27s_Guide_to_Basalt_Discrimination_Diagrams
- Pearce, J.A., 2008. Geochemical fingerprinting of oceanic basalts with applications to ophiolite classification and the search for Archean oceanic crust. *Lithos*, 100(1–4): 14–48.
<https://doi.org/10.1016/j.lithos.2007.06.016>
- Pearce, J.A., Harris, N.B. and Tindle, A.G., 1984. Trace element discrimination diagrams for the tectonic interpretation of granitic rocks. *Journal of Petrology*, 25(4): 956–983.
<https://doi.org/10.1093/petrology/25.4.956>
- Piccoli, P. and Candela, P., 1994. Apatite in felsic rocks: A model for the estimation of initial halogen concentrations in the Bishop Tuff (Long Valley) and Tuolumne intrusive suite (Sierra Nevada Batholith) magmas. *American Journal of Science*, 294(1): 92–135.
<https://doi.org/10.2475/ajs.294.1.92>
- Prowatke, S. and Klemme, S., 2006. Trace element partitioning between apatite and silicate melts. *Geochimica et Cosmochimica Acta*, 70(17): 4513–4527.
<https://doi.org/10.1016/j.gca.2006.06.162>
- Richards, J.P., 2011. High Sr/Y arc magmas and porphyry Cu±Mo±Au deposits: just add water. *Economic Geology*, 106(7): 1075–1081.
<https://doi.org/10.2113/econgeo.106.7.1075>
- Richards, J.P. and Kerrich, R., 2007. Adakite-like rocks: their diverse origins and questionable role in metallogenesis. *Economic Geology*, 102(4): 537–576.
<https://doi.org/10.2113/gsecongeo.102.4.537>
- Rollinson, H., 1993. *Using Geochemical Data: Evaluation, Presentation, Interpretation*. Routledge, London, 384 pp.
<https://doi.org/10.4324/9781315845548>
- Sahandi, M.R. and Soheili, M., 2014. Geological map of Iran, scale 1:1000000. Geological Survey of Iran.
- Sepahi, A.A., Ghoreishvandi, H., Maanijou, M., Maruoka, T. and Vahidpour, H., 2020. Geochemical description and sulfur isotope data for Shahrak intrusive body and related Fe-mineralization (East Takab), Northwest Iran. *Island Arc*, 29(1): e12367.
<https://doi.org/10.1111/iar.12367>
- Sha, L.K. and Chappell, B.W., 1999. Apatite chemical composition, determined by electron microprobe and laser-ablation inductively coupled plasma mass spectrometry, as a probe into granite petrogenesis. *Geochimica et Cosmochimica Acta*, 63(22): 3861–3881.
[https://doi.org/10.1016/S0016-7037\(99\)00210-0](https://doi.org/10.1016/S0016-7037(99)00210-0)
- Soloviev, S.G., 2014. Geology, mineralization, and fluid inclusion characteristics of the Kumbel oxidized W–Cu–Mo skarn and Au-W stockwork deposit in Kyrgyzstan, Tien Shan. *Mineralium Deposita* 50(2): 187–220. <https://doi.org/10.1007/s00126-014-0531-6>

- Sun, S.S. and McDonough, W.F., 1989. Chemical and isotopic systematics of oceanic basalts: implications for mantle composition and processes. *Geological Society Publications*, 42: 313–345.
<https://doi.org/10.1144/GSL.SP.1989.042.01.19>
- Sun, S.J., Yang, X.Y., Wang, G.J., Sun, W.D., Li, C.Y. and Ding, X., 2019. In situ elemental and Sr-O isotopic studies on apatite from the Xu-Huai intrusion at the southern margin of the North China Craton: implications for petrogenesis and metallogeny. *Chemical Geology*, 510: 200–214.
<https://doi.org/10.1016/j.chemgeo.2019.02.010>
- Sun, J.F., Yang, J.H., Zhang, J.H., Yang, Y.H. and Zhu, Y.S., 2021. Apatite geochemical and Sr–Nd isotopic insights into granitoid petrogenesis. *Chemical Geology*, 566: 120104.
<https://doi.org/10.1016/j.chemgeo.2021.120104>
- Svetlitskaya, T.V. and Nevolko, P.A., 2022. New whole-rock skarn and porphyry fertility indicators: Insights from Cu-Au-Fe skarn and Cu-Mo-Au porphyry deposits in Eastern Transbaikalia, Russia. *Ore Geology Reviews*, Volume 149: 105108.
<https://doi.org/10.1016/j.oregeorev.2022.105108>
- Tale Fazel, E., Pašava, J., Wilke, F.D., Oroji, A. and Andronikova, I., 2023. Source of gold and ore-forming processes in the Zarshuran gold deposit, NW Iran: Insights from in situ elemental and sulfur isotopic compositions of pyrite, fluid inclusions, and O–H isotopes. *Ore Geology Reviews*, 156: 105382.
<https://doi.org/10.1016/j.oregeorev.2023.105382>
- Tatsumi, Y., Hamilton, D.L. and Nesbitt, R.W., 1986. Chemical characteristics of fluid phase released from a subducted lithosphere and the origin of arc magmas: evidence from high pressure experiments and natural rocks. *Journal of Volcanology and Geothermal Research*, 29(1–4): 293–309.
[https://doi.org/10.1016/0377-0273\(86\)90049-1](https://doi.org/10.1016/0377-0273(86)90049-1)
- Wang, R., Richards, J.P., Hou, Z., Yang, Z. and DuFrane, S.A., 2014. Increased magmatic water content—the key to Oligo-Miocene porphyry Cu-Mo±Au formation in the Eastern Gangdese belt, Tibet. *Economic Geology*, 109(5): 1315–1339.
<https://doi.org/10.2113/econgeo.109.5.1315>
- Warr, L.N., 1994. IMA-CNMNC approved mineral symbols. *Mineralogical Magazine*, 85(3): 291–320.
<https://doi.org/10.1180/mgm.2021.43>
- Wilson, M., 1989. Igneous Petrogenesis. Springer, Dordrecht, 466 pp.
- <https://doi.org/10.1007/978-94-010-9388-0>
- Wu, F.Y., Jahn, B.M., Wilder, S.A., Lo, C.H., Lin, Q., Ge, W.C. and Sun, D.Y., 2003. Highly fractionated I-type granites in NE China. *Geochronology and petrogenesis*. *Lithos* 66(3–4): 241–273.
[https://doi.org/10.1016/S0024-4937\(02\)00222-0](https://doi.org/10.1016/S0024-4937(02)00222-0)
- Xiao, B., Pan, Y.M., Song, H., Song, W.L., Zhang, Y. and Chen, H.Y., 2021. Hydrothermal alteration processes of fluorapatite and implications for REE remobilization and mineralization. *Contributions to Mineralogy and Petrology*, 176(10): 1–12.
<https://doi.org/10.1007/s00410-021-01849-7>
- Zhang, Y., Sun, J.G., Xing, S.W., Zhao, K.Q., Ma, Y.B., Zhang, Z.J. and Wang, Y., 2016. Ore-forming granites from Jurassic porphyry Mo deposits, east-central Jilin Province, China: geochemistry, geochronology, and petrogenesis. *International Geology Review*, 58(9): 1–17.
<https://doi.org/10.1080/00206814.2016.1150213>
- Zhang, J., Wang, R. and Hong, J., 2022. Amphibole fractionation and its potential redox effect on arc crust: Evidence from the Kohistan arc cumulates. *American Mineralogist*, 107(9): 1779–1788.
<https://doi.org/10.2138/am-2022-8141>
- Zhang, Q., Yin, X.M., Yin, Y., Jin, W.J., Wang, Y. L. and Zhao, Y.Q., 2009. Issues on metallogenesis and prospecting of gold and copper deposits related to adakite and Himalayan types granite in west Qinling. *Acta Petrolei Sinica* 25: 3103–3122. Retrieved August 21, 2023 from <https://engine.scichina.com/doi/pdf/0FB8129277D0410AA995F96112F4D30E?ipInfo=5.117.210.18>
- Zhu, D.C., Mo, X.X., Wang, L.Q., Zhao, Z.D., Niu, Y.L., Zhou, C.Y. and Yang, Y.H., 2009. Petrogenesis of highly fractionated I-type granites in the Zayu area of eastern Gangdese, Tibet: Constraints from zircon U–Pb geochronology, geochemistry and Sr–Nd–Hf isotopes. *Science in China Series D: Earth Sciences* 52: 1223–1239.
<https://doi.org/10.1007/s11430-009-0132-x>
- Zhu, J., Richards, J., Rees, C., Creaser, R., Dufrane, S.A., Locock, A., Petrus, J. and Lang, J., 2018. Elevated Magmatic Sulfur and Chlorine Contents in Ore-Forming Magmas at the Red Chris Porphyry Cu-Au Deposit, Northern British Columbia, Canada. *Economic Geology*, 113 (5): 1047–1075.
<https://doi.org/10.5382/econgeo.2018.4581>